



دانشگاه شهید بهشتی
دانشکده علوم ریاضی
گروه علوم کامپیوتر

پایان نامه کارشناسی ارشد

عنوان

تشخیص ژست‌های حرکتی با کمک
شبکه‌های ضربه‌ای کانولوشنال

نگارش
عارف مقدم مهر

استادان راهنما
آقای دکتر هادی فراهانی و آقای دکتر سعیدرضا خردپیشه

بهمن ماه ۱۳۹۹

کلیه حقوق اعم از چاپ و تکثیر، نسخه برداری، ترجمه، اقتباس و ... از این پایان نامه برای دانشگاه شهید بهشتی محفوظ است. نقل مطالب با ذکر مأخذ آزاد است.

تقدیم بہ مسافران پرواز ۷۵۲...

رسیدن، به دانش است و به کردار نیک...

و بی دانش به کردار نیک هم توان رسید، که نیکی را بیشتر بید شناختن، آنگاه بجای آوردن. پس دانش به همه حال می‌باید تا به رسگاری توان رسیدن. و چون دانش راه آمد، به بهترین چیزها که آدمی را تواند بودن. و در اول آفرینش حاصل نیست و بعضی از آن بی رنج و اندیشه حاصل شود، پس هر آینه ممتزج چیزی باشد که در حاصل کردنش عمر گذرانند، لیکن برخی هست که بی اندیشه حاصل آید و بعضی را ناچار به اندیشه حاجت بود، و آنچه به اندیشه حاصل شود دانسته‌ای خواهد که دو اندیشه کنند تا این نادانسته بدان اندیشه که در آن دانسته کنند دانسته شود، و از هر دانسته هر نادانسته را توان شناخت، بلکه هر نادانسته را به دانسته‌ای که در نور او بود توان شناخت. و منطق آن علم است که در راه انداختن نادانسته به دانسته دانسته شود...

پس منطق ناگزیر آمد بر جوینده‌ی رسگاری.

۱

سپاس‌گزاری...

در آغاز وظیفه‌ی خود می‌دانم که از زحمات بی‌دریغ، تلاش‌های بی‌وقفه و راهنمایی‌های حکیمانه استاد راهنمای محترم جناب آقای دکتر فراهانی کمال تشکر و قدردانی را داشته باشم. همچنین از استاد گرامی جناب آقای دکتر خردپیشه که مشاوره این پژوهش را پذیرا شدند و در این مسیر از هیچ همکاری و کمکی به اینجانب دریغ نفرمودند؛ صمیمانه تشکر و قدردانی می‌نمایم. از استادان گرامی که در طول دوران تحصیلم افتخار کسب علم را در محضرشان داشته‌ام، جناب آقایان دکتر اصلاحچی و دکتر کتانفروش نهایت سپاسگزاری را دارم.

همچنین کمال تشکر را از گروه ریاضی دانشکده‌ی ریاضی دانشگاه شهید بهشتی دارم، برای مهیا کردن بسترهای پردازی مناسب و سرورهای پردازش که فرصت آموزش شبکه‌های عصبی پیچیده‌تر را به ما داد. بدون چنین بسترهای پردازی، به ثمر رسیدن این رساله ممکن نبود.

و نیز از دوست عزیز و گرانقدرم خانم زهرا نوری، بابت حمایت‌های بی‌دریغش در پیشبرد این تحقیق و کمک در نگارش و بازخوانی این رساله قدردان و سپاسگزار هستم.

و در آخر بوسه می‌زنم بر دستان پر مهر پدر و مادر عزیزم که در این راه همواره کنارم بوده‌اند.

عارف مقدم مهر
بهمن ماه ۱۳۹۹

نام خانوادگی دانشجو: مقدم مهر

نام: عارف

عنوان: تشخیص ژست‌های حرکتی با کمک شبکه‌های ضربه‌ای کانولوشنال

استادان راهنما: آقای دکتر هادی فراهانی و آقای دکتر سعیدرضا خردپیشه

مقطع تحصیلی: کارشناسی ارشد رشته: علوم کامپیوتر گرایش: الگوریتم و نظریه محاسبه

علوم ریاضی

دانشگاه: شهید بهشتی

تعداد صفحات: ۶۶

تاریخ فارغ‌التحصیلی: بهمن ماه ۱۳۹۹

واژگان کلیدی: شبکه‌های ضربه‌ای، شبکه‌های کانولوشنال، تشخیص ژست‌های حرکتی، بینایی ماشین

چکیده

یکی از انواع شبکه‌های عصبی، شبکه‌های عصبی ضربه‌ای یا اسپایکی است. این شبکه‌ها با الهام گیری از نورون‌های بیولوژیکی، شبکه‌هایی درست کرده‌اند که به جای مقادیر حقیقی، با پالس‌های الکتریکی اطلاعات را پردازش و منتقل می‌کنند. شبکه‌های اسپایکی در سال‌های اخیر پیشرفت‌هایی زیادی داشته. که میتوان به توان پردازشی بالا و مصرف پایین آنها اشاره کرد. در این پایان نامه بر روی مسئله‌ی تشخیص ژست‌های حرکتی تمرکز شده که کاربردهای زیادی در زمینه‌های متنوع از جمله تعامل انسان و روبات دارد. این ژست‌ها توسط حسگر بینایی پویا تهیه شده‌اند و خود ماهیت اسپایکی دارند. با بهره گیری از شبکه‌های اسپایکی استفاده شده است و با تلفیق آنها با شبکه‌های کانولوشنال و همچنین پیاده سازی ابزارهای کمکی دقت یادگیری آنها را افزایش دادیم، و به دقت ۹۷٪ در مجموعه‌ی داده دست یافتیم.

فهرست مطالب

۱	مقدمه
۳	۱ شبکه‌های اسپایکی
۳	۱.۱ ساختار مغز
۵	۲.۱ روش‌های کدگذاری اسپایکی
۵	۱.۲.۱ روش کدگذاری براساس نرخ اسپایک
۶	۲.۲.۱ روش کدگذاری بر اساس زمان اسپایک
۶	۳.۱ مدل‌های متداول نورو اسپایکی
۶	۱.۳.۱ مدل تجمیع-آتش با نشی
۸	۲.۳.۱ مدل تجمیع-آتش
۸	۴.۱ آموزش شبکه‌های اسپایکی
۸	۱.۴.۱ روش‌های آموزش محلی
۹	۲.۴.۱ روش باینری کردن شبکه‌های عصبی مصنوعی
۹	۳.۴.۱ روش تبدیل شبکه‌های عصبی مصنوعی به اسپایکی
۹	۵.۱ روش آموزش نظارت شده
۱۰	۱.۵.۱ نرم کردن شبکه‌ی اسپایکی
۱۰	۲.۵.۱ استفاده از توابع اسپایکی نرم مشتق پذیر
۱۱	۳.۵.۱ گرادیان در مدل‌های احتمالی
۱۱	۴.۵.۱ گرادیان در شبکه‌های کدگذاری نرخ-اسپایک
۱۲	۵.۵.۱ گرادیان در شبکه‌های تک-اسپایک (کدگذاری زمان اسپایک)
۱۲	۶.۵.۱ روش گرادیان جایگزین

۲	تعریف مسئله	۱۵
۱.۲	تشخیص ژست حرکتی	۱۵
۲.۲	مروری بر تحقیقات انجام شده	۱۷
۳	روش شناسی و پژوهش	۲۳
۱.۳	آماده سازی داده ها	۲۳
۱.۱.۳	تبدیل تصویر مبتنی بر پیکسل به تصویر اسپایکی	۲۴
۲.۱.۳	فریم بندی جریان اسپایک	۲۴
۳.۱.۳	تقویت و اضافه کردن داده	۳۰
۲.۳	معماری شبکه	۳۰
۱.۲.۳	لایه کامل	۳۱
۲.۲.۳	لایه کانولوشن	۳۲
۳.۲.۳	لایه های Max-Pooling و Avg-Pooling	۳۲
۴.۲.۳	عدم استفاده از ضریب جریان سیناپس (α)	۳۲
۵.۲.۳	نرمال کردن اسپایک های خروجی	۳۳
۶.۲.۳	وزن های اولیه	۳۴
۷.۲.۳	لایه Dropout	۳۵
۸.۲.۳	اتصالات جانبی	۳۶
۹.۲.۳	اتصالات بازگشتی	۳۶
۱۰.۲.۳	استفاده از مکانیزم Winner-Takes-All	۳۷
۳.۳	تصمیم گیری و محاسبه ی تابع خطا	۳۷
۱.۳.۳	تصمیم گیری در لایه خروجی	۳۷
۲.۳.۳	محاسبه ی تابع خطا	۳۹
۴.۳	پیاده سازی	۴۱
۵.۳	نتایج	۴۴
۱.۵.۳	آزمایش شبکه ی کامل	۴۴
۲.۵.۳	آزمایش روش های تولید تصویر مبتنی بر فریم	۴۶

۳.۵.۳	آزمایش طول زمانی داده‌ها	۴۸
۴.۵.۳	آزمایش نوع خروجی	۴۸
۵.۵.۳	آزمایش اتصالات کمکی	۴۸
۶.۵.۳	مقایسه شبکه‌ی اسپایکی با شبکه‌ی مصنوعی	۴۹
۷.۵.۳	نتیجه‌گیری	۴۹

۵۱	واژه‌نامه فارسی به انگلیسی
----	----------------------------

۵۵	واژه‌نامه انگلیسی به فارسی
----	----------------------------

۵۹	نمایه
----	-------

۵۹	مراجع
----	-------

مقدمه

هدف اصلی این پایان نامه، تحلیل و بررسی شبکه‌های عصبی اسپایکی و ارائه روشی برای آموزش ژست‌های حرکتی با استفاده از این شبکه‌ها است. همان طور که میدانیم در سال‌های اخیر، شبکه‌های عصبی پیشرفت‌های چشم گیری داشته‌اند و امروزه در مسائل مختلف کاربرد دارند. یکی از انواع شبکه‌های عصبی، شبکه‌های اسپایکی است که مدل نورونی آنها شباهت بیشتری به نورون‌های بیولوژیکی دارد. این شبکه‌ها از قدرت بالایی برخوردار هستند و در سال‌های اخیر مورد توجه قرار گرفته‌اند. در این پایان نامه، در بخش اول به توضیح این شبکه‌ها می‌پردازیم، سپس در بخش دوم به خلاصه‌ای از تحقیقات اخیر در این زمینه را مرور می‌کنیم. نهایتاً در بخش پایانی به توضیح روش پیاده سازی شده و نتایج آن خواهیم پرداخت.

فصل ۱

شبکه‌های اسپایکی

۱.۱ ساختار مغز

هدف این پایان نامه استفاده از شبکه‌های اسپایکی برای حل مسائل بینایی ماشین است. از آنجایی که این شبکه‌ها از سیستم عصبی بیولوژیکی الهام گرفته‌اند، داشتن اطلاعات در مورد این سیستم‌ها می‌تواند بسیار مفید باشد. به طور خلاصه سیستم عصبی موجودات زنده، (مغز یا همان سیستم پردازش اطلاعات) از مجموعه‌ای در هم تنیده‌ای از عصب‌ها تشکیل شده‌اند. به این سلول‌های عصبی نورون هم گفته می‌شود. این سلول‌ها در موجودات زنده شامل یک هسته‌ی مرکزی و تعدادی ترمینال ورودی^۱ که در این پایان نامه آنها را سیناپس خواهیم نامید و یک ترمینال خروجی^۲ می‌باشند. تصویر ساده شده‌ی یک نورون عصبی در شکل ۱.۱ قابل مشاهده است. این شبکه‌ها بر مبنای پالس‌های الکتریکی منتقل شده و بین آنها کار می‌کنند. به عبارت دیگر، در صورتی که ولتاژ ورودی از سیناپس‌ها، به حد مورد انتظار سلول برسد، سلول تحریک شده و یک پالس عصبی در ترمینال خروجی خود تولید می‌کند. سپس این پالس‌ها به سیناپس سلول‌های دیگر برخورد کرده و مجموعه‌ای از پالس‌های دیگر را در پی دارد که نهایتاً منجر به عمل کرد خردمند مغز می‌شود.

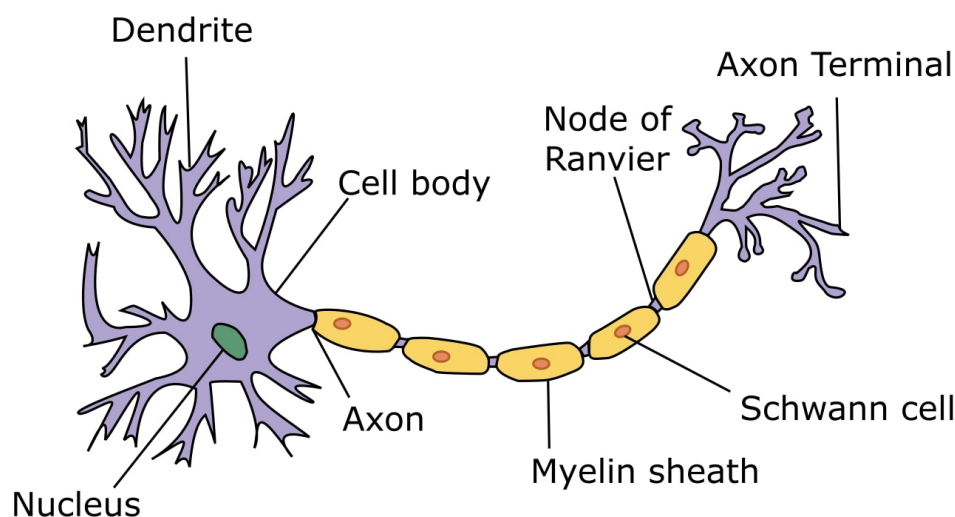
قسمت بینایی مغز پستانداران، دارای ساختار سلسله مراتبی است [۱۲]. بدین معنی که اطلاعات را در طی لایه‌های متوالی تحلیل می‌کند و آن‌ها را از لایه‌ای به لایه بعدی انتقال می‌دهد. این لایه‌ها که در قسمت شکمی قشر بینایی یا Cortex Visual the of Pathway Ventral قرار دارد و هر کدام وظیفه تحلیل تصویر در سطح مشخصی را دارد [۸]. نورون‌ها در طول این سلسله مراتب‌ها، به مرور از تشخیص اشکال ساده مثل خطوط و زاویه‌های تصویر در قسمت‌های ابتدایی قشر بینایی تا تشخیص اشیاء در قشر تحلیلی می‌پردازد. [۷]

تفاوت عمده‌ی شبکه‌های عصبی مصنوعی و شبکه‌های عصبی اسپایکی در نحوه‌ی مدل سازی

^۱ به این ترمینال‌ها سیناپس یا دندریت هم گفته می‌شود.

^۲ به این ترمینال‌ها اکسون هم گفته می‌شود.

نورون‌ها می‌باشد. هرچند ساختار شبکه‌های عصبی مصنوعی الهام گرفته از مغز موجودات زنده است، [۱۸] ولی در واقع این شبکه‌ها شباهت خیلی زیادی به سیستم مغزی موجودات زنده ندارند چرا که در این شبکه‌ها کاملاً از ساختار و مدل نورون‌ها صرف نظر شده است و فقط به تقلید ارتباط نورون‌ها و ساختار شبکه تمرکز داشته‌اند. نورون‌های مصنوعی دارای خروجی تابع پیوسته هستند در حالی که نورون‌های طبیعی دارای خروجی تابع ضربه یا اسپایک می‌باشند. تحقیقات انجام شده نشان می‌دهد که مغز پستانداران با نرخ بسیار آهسته‌ای اسپایک می‌زند. ولی کدگذاری اطلاعات در زمان اسپایک زدن، باعث می‌شود همین مقدار اسپایک برای انتقال اطلاعات کافی باشد. این امر باعث می‌شود مغز ما بسیار سریع و بسیار کم مصرف باشد [۱۶]. پیوند این عصب‌ها با یکدیگر، شبکه‌های عصبی پیچیده‌تر و قدرتمندتری را به وجود می‌آورد. این شبکه‌ها که امروزه به اسم شبکه‌های کامل، شبکه‌های رو به جلو یا شبکه‌های چند لایه شناخته می‌شوند، عموماً از لایه‌های به هم چسبیده تشکیل شده‌اند و توانایی به مراتب بالاتری نسبت به یک عصب تنها را دارند.



نمودار ۱.۱: تصویر ساده شده‌ی یک سلول عصبی در مغز موجودات زنده.

یکی از زیر شاخه‌های شبکه‌های عصبی، شبکه‌های عصبی ضربه‌ای یا اسپایکی است که در سال‌های اخیر بسیار مورد توجه قرار گرفته‌اند. این شبکه‌ها در مقایسه با شبکه‌های عصبی مصنوعی^۳، شباهت بیشتری به مغز بیولوژیکی دارند. برای درک بهتر موضوع می‌توانیم نورون‌های مصنوعی متداول و سلول‌های عصبی زیستی را با هم مقایسه کنیم.

تفاوت عمده‌ی این دو در نحوه‌ی تولید خروجی آنهاست. برخلاف نورون‌های مصنوعی که خروجی آنها پیوسته است، خروجی سلول‌های عصبی زیستی از نوع پالس‌های الکتریکی می‌باشد. در واقع این سلول‌ها با دریافت پالس‌های الکتریکی از سیناپس‌های ورودی خود، افزایش پتانسیل پیدا می‌کنند و پس از این که پتانسیل آنها به مقدار آستانه تحمل آنها رسید، سلول عصبی یک پالس الکتریکی منتشر می‌کند،

^۳ اگرچه استفاده از واژه‌ی شبکه عصبی مصنوعی درست نیست، چرا که هر دوی این شبکه‌ها مصنوعی هستند، ولی در این پایان نامه مقصود از شبکه‌ی عصبی مصنوعی، شبکه‌هایی هستند که به نسبت شباهت کمتری به مغز انسان دارند و در واقع دارای خروجی حقیقی و هستند و در مقابل آنها شبکه‌ی عصبی اسپایکی قرار دارد که شباهت بیشتری به مغز انسان دارد.

که باعث تخلیه شدن پتانسیل آن می‌شود. شبکه‌های عصبی اسپایکی هم بر همین مبنا مدل شده‌اند.

بنابراین، شاید مهم‌ترین وجه تمایز این دو شبکه همین است که تعریف شبکه‌های اسپایکی به وابسته به زمان است. شبکه‌های اسپایکی در بعد زمان تعریف می‌شوند و برخلاف شبکه‌های مصنوعی که مسئله را در یک لحظه بررسی می‌کنند و جواب را برای همان لحظه تولید می‌کنند، شبکه‌های اسپایکی در طول زمان خروجی خود را تولید می‌کنند. برای مثال در لحظه‌ی t_0 شروع به ورودی دادن به شبکه می‌کنیم. اگرچه در این لحظه شبکه هیچ خروجی تولید نمی‌کند، ولی پس از گذشت $1k$ واحد زمانی، شبکه اولین اسپایک خود را تولید می‌کند و پس از گذشت k_2 واحد زمانی به حد کافی اسپایک تولید کرده باشد تا بتوانیم برای خروجی تصمیم‌گیری و نتیجه‌گیری کنیم. همین امر باعث می‌شود تا دقت این شبکه‌ها بنا به نیاز، قابل تغییر باشند. به عبارت دیگر در صورتی که نیاز مبرم به تولید خروجی هرچند نادقیق داشته باشیم می‌توانیم در زمان زودتر اقدام به نتیجه‌گیری کنیم.

همان‌طور که قبلاً اشاره شد، این شبکه‌ها الهام گرفته از مغز موجودات زنده هستند و به دلیل خاصیت زمانی نهادینه شده در آنها، این شبکه‌ها را می‌توان در طبقه بندی شبکه‌های بازگشتی هم قرار داد چرا که این دو، خاصیت‌ها و کاربردهای مشابه بسیاری دارند. در ادامه به بررسی جزئیات بیشتر این شبکه‌ها می‌پردازیم. این جزئیات شامل روش‌های کدگذاری داده‌ها و اسپایک‌ها و همچنین مدل دینامیکی درون نورو است.

۲.۱ روش‌های کدگذاری اسپایکی

برخلاف نوروهای عصبی مصنوعی که دارای تابع فعال سازی با خروجی حقیقی هستند، نوروهای اسپایکی دارای تابع فعال سازی با خروجی پالس یا ضربه می‌باشند که این پالس‌ها، دارای مقدار و طول یکسان برای تمام نوروها هستند. بنابراین این مقدار به خودی خود نمی‌تواند اطلاعاتی را انتقال دهد. به همین دلیل شبکه‌های اسپایکی در بعد زمان کار می‌کنند تا اطلاعات را در زمان اسپایک زدن ذخیره کنند. نحوه‌ی ذخیره این اطلاعات نوع کدگذاری شبکه نامیده می‌شود که یکی از پارامترهای مهم و تعیین کننده‌ی شبکه می‌باشد. برای کدگذاری اطلاعات در این نوروها دو روش کلی وجود دارد، روش کدگذاری بر اساس نرخ اسپایک و روش کدگذاری بر اساس زمان اسپایک.

۱.۲.۱ روش کدگذاری بر اساس نرخ اسپایک

در این روش، کدگذاری اطلاعات در فرکانس و یا در نرخ اسپایک ذخیره می‌شود. به عبارت دیگر هر چقدر نورو با فرکانس بالاتری اسپایک بزند به این معنا است که فعالیت بیشتری دارد. در واقع می‌توان فرکانس اسپایک در این روش را با مقدار خروجی حقیقی نوروهای مصنوعی متناظر دانست. یکی از مثال‌های تبدیل خروجی نوروهای ReLU به فرکانس نوروهای اسپایکی است. بدیهی است که در این روش نوروها می‌توانند بیش از یک بار اسپایک تولید کنند که به طبع آن، شبکه توانایی پردازش جریان

داده‌ها را خواهد داشت. یکی از مزیت‌های این روش این است که مدل انتشار اسپایک‌ها نسبت به روش زمان اسپایک، بیشتر شبیه مغز ما است. به همین دلیل این مدل‌ها کمک بیشتری در تحلیل مکانیزم مغز ما می‌کنند. همچنین این مدل‌ها توانایی پردازش متوالی داده‌ها بدون نیاز به بازنشاندن شبکه دارند.

۲.۲.۱ روش کد گذاری بر اساس زمان اسپایک

در مقابل، روش زمان اسپایک اطلاعات را از طریق زمان انتشار اسپایک‌ها منتقل می‌شود. بدین معنی که زمان اولین اسپایک نشان دهنده‌ی فعالیت نورون است. هر چقدر این زمان به صفر نزدیکتر باشد نشان دهنده‌ی فعالیت بیشتر نورون و هر چقدر این زمان بزرگتر باشد نشان دهنده‌ی فعالیت کمتر آن است. در صورتی که نورون هیچ اسپایکی تولید نکند نشان دهنده‌ی فعالیت صفر نورون است.

بدیهی است که در این روش تنها اولین اسپایک در نظر گرفته می‌شود پس اسپایک‌های بعدی هیچ ارزش اطلاعاتی ندارند. به همین علت در پیاده سازی‌های این روش تنها یک اسپایک برای هر نورون در نظر گرفته می‌شود و هر نورون حداکثر می‌تواند یک بار اسپایک تولید کند.

این مدل‌ها نسبت به مدل‌های نرخ اسپایک ساده تر می‌باشند و تعداد اسپایک کمتری را تولید می‌کنند. بنابراین می‌توان گفت این مدل‌ها دارای مصرف انرژی بهینه تری می‌باشند. ولی از طرف دیگر این مدل‌ها به خودی خود توانایی پردازش جریان داده‌ها را ندارند. برای حل این مشکل نیاز داریم، مکانیزمی برای بازنشاندن شبکه و نورون‌ها در نظر بگیریم. برای مثال پس از حل هر نمونه آزمایشی و یا بعد از تحلیل هر سیگنال، پتانسیل نورون‌ها را با سیگنال مشخصی، به صفر بازگردانیم تا برای اجرای دوباره آماده باشند.

۳.۱ مدل‌های متداول نورون اسپایکی

در این قسمت به بررسی مدل دینامیکی درون نورون‌ها پرداخته و نحوه‌ی کارکرد پتانسیل درونی آنها را بررسی می‌کنیم.

۱.۳.۱ مدل تجمیع-آتش با نشتی

متداول ترین روش برای مدل نورون‌های اسپایکی مدل تجمیع-آتش با نشتی یا Leaky Integrate-and-Fire می‌باشد [۱۱] که به طور خلاصه LIF نامیده می‌شوند. این نورون‌ها شباهت بسیار زیادی به مدل مغز ما دارد. معادله‌ی ۱.۱ مدل این نورون‌ها را در غیاب مکانیسم اسپایک که باعث بازگشتن پتانسیل به مقدار اولیه می‌شود را نشان می‌دهد.

$$\tau_{mem} \frac{dU_i}{dt} = RI_i - (U_i - U_{rest}) \quad (1.1)$$

در این معادله U_i مقدار پتانسیل جاری نورون را نشان می‌دهد و U_{rest} مقدار پتانسیل استراحت نورون را نشان می‌دهد. مقدار استراحت مقداری است که نورون بدون داشتن ورودی یا خروجی و یا پس از اسپایک زدن به آن می‌رسد. مقدار $\frac{dU_i}{dt}$ نشان دهنده تغییرات لحظه‌ای مقدار پتانسیل است که با استفاده از ثابت τ_{mem} کنترل می‌شود. این ثابت در واقع مقدار نشتی پتانسیل نورون است. I_i مقدار جریان ورودی و R هم مقدار مقاومت آن ورودی می‌باشد. همچنین برای مدل کردن جریان ورودی نورون، از روش دنبال کردن توانی مقدار جریان استفاده می‌کنیم [۲۸]. برای این مدل از معادله‌ی ۲.۱ استفاده می‌کنیم.

$$\frac{dI_i}{dt} = -\frac{I_i(t)}{\tau_{syn}} + \sum_j W_{ij} S_j(t) \quad (2.1)$$

در این معادله، مانند معادله‌ی قبلی سعی داریم تغییرات مقدار جریان را مدل کنیم. این مقدار وابسته به مقدار قبلی جریان است که با ثابت τ_{syn} کنترل می‌شود و مقدار اسپایک‌های ورودی نورون که هر کدام در وزن متناظر خود W ضرب می‌شوند. می‌دانیم که پتانسیل نورون‌های عصبی پس از رسیدن آستانه‌ی تحمل باعث می‌شوند که نورون اسپایک تولید کند و مقدار پتانسیل کاهش پیدا کند. بنابراین با اضافه کردن مدل اسپایک به معادله‌ی ۱.۱ می‌توانیم به مدل ۳.۱ دست پیدا کنیم.

$$\frac{dU_i}{dt} = -\frac{1}{\tau_{mem}}(U_i - U_{rest}) + RI_i + S_i(t)(U_{rest} - \theta) \quad (3.1)$$

که در این معادله مقدار $S_i(t)$ بیانگر این است که آیا نورون مورد نظر در زمان t دارای اسپایک خروجی بوده یا نه. این مقدار به صورت ۴.۱ تعریف می‌شود. مقدار θ نیز نشان دهنده‌ی آستانه‌ی تحمل نورون است.

$$S(t) = \begin{cases} 1 & \text{if } U_i \geq \theta \\ 0 & \text{otherwise} \end{cases} \quad (4.1)$$

برای ساده تر شدن محاسبات می‌توان معادلات ۱.۱ و ۲.۱ را به فرم گسسته و به صورت زیر نوشت:

$$I_i[n+1] = \alpha * I_i[n] + \sum_j W_{ij} S_j[n] \quad (5.1)$$

$$U_i[n+1] = \beta * U_i[n] + I_i[n] - S_i[n] \quad (6.1)$$

۲.۳.۱ مدل تجمیع-آتش

این مدل که به آن Integrate-and-Fire یا IF هم می‌گوییم کاملاً مشابه مدل LIF است و تنها تفاوت آن این است که این مدل‌ها نشتی ندارند. برای بدست آوردن معادله این مدل تنها کافیست در مدل ۶.۱ مقدار β را یک در نظر بگیریم در نتیجه از نشتی نورون صرف نظر می‌شود. این مدل‌ها دارای مکانیسم ساده تری برای پردازش اطلاعات دارند و یکی از کاربردهای آنها استفاده در مدل‌های کدگذاری زمان اسپایک می‌باشد.

۴.۱ آموزش شبکه‌های اسپایکی

به دلیل متفاوت بودن دینامیک نورون‌های اسپایکی، و وابستگی آنها به بعد زمان و همچنین به دلیل مشتق پذیر نبودن تابع ضربه نمی‌توان به روش‌های مرسوم این نورون‌ها را آموزش داد. بنابراین روش‌هایی برای حل این مشکل به وجود آمده است که در ادامه به بررسی آنها می‌پردازیم.

۱.۴.۱ روش‌های آموزش محلی

یکی از رایج ترین روش آموزش محلی شبکه‌های عصبی اسپایکی، روش انعطاف پذیری وابسته به زمان اسپایک یا STDP می‌باشد. این روش که زیر مجموعه‌ی روش‌های آموزش بدون نظارت محسوب می‌شود شباهت بسیاری به روش‌های آموزش در مغز دارد. در این روش آموزش هر نورون وابسته به فعالیت‌های جریان ورودی آن در قبل و بعد از لحظه‌ای است که نورون اسپایک می‌زند. به این صورت که وزن ورودی‌هایی که قبل از لحظه‌ی اسپایک، تحریک شده باشند قوی تر می‌شود و وزن ورودی‌هایی که بعد از لحظه‌ی اسپایک تحریک شده باشند، تضعیف می‌شود. مدل ریاضی این روش در معادلات زیر نشان داده شده است.

$$\Delta W_{ij} = \begin{cases} a^+ w_{ij} (1 - w_{ij}) & \text{if } t_j - t_i \leq 0 \\ a^- w_{ij} (1 - w_{ij}) & \text{if } t_j - t_i > 0 \end{cases} \quad (7.1)$$

در این معادله i و j به ترتیب سیگنال پسا سیناپسی یا Post-Synaptic (سیگنال مربوط به اسپایک‌های خروجی نورون) و سیگنال پیش سیناپسی یا Pre-Synaptic (سیگنال مربوط به جریان اسپایک‌های ورودی نورون) می‌باشد. وزن‌های a^+ و a^- به ترتیب وزن‌های آموزش مثبت و منفی نورون می‌باشند که به عنوان پارامتر ورودی سیستم تعیین می‌شوند. در واقع این دو مقدار تغییرات نورون را کنترل می‌کنند. عبارت $w_{ij}(1 - w_{ij})$ باعث می‌شود تا مقادیر وزن‌ها در بازه‌ی صفر تا یک باقی بمانند. در واقع این عبارت باعث می‌شود تا مقدار تغییرات در انتهای بازه‌ی صفر تا یک به صفر میل کند.

از مزایای روش‌های STDP می‌توان به بدون نظارت بودن آن اشاره کرد. بنابراین این روش‌ها می‌توانند بدون داشتن برچسب داده‌ها، سعی به آموزش الگوی آنها کنند. اما از طرف دیگر این عدم توانایی یادگیری برچسب‌ها می‌تواند مشکلاتی را نیز به وجود آورد. برای مثال ممکن است شبکه سعی کند الگوهایی را یاد بگیرد که به حل مسئله کمک چندانی نمی‌کند. همچنین از دیگر مشکلات این روش می‌توان به عدم کارایی آن در شبکه‌هایی با لایه‌های عمیق تر نیز اشاره کرد.

۲.۴.۱ روش باینری کردن شبکه‌های عصبی مصنوعی

در این روش تنها تغییری که بر روی شبکه‌های عصبی مصنوعی می‌دهیم تابع فعال سازی آنها است. به طوری که تابع فعال سازی آنها را به تابع ضربه تغییر می‌دهیم. بنابراین این شبکه‌ها برخی از خواص شبکه‌های اسپایکی را دارند از جمله انتقال اطلاعات مابین نورون‌ها به صورت باینری خواهد بود که همین امر موجب افزایش کارایی و کاهش حافظه‌ی مورد نیاز آنها می‌شود.

۳.۴.۱ روش تبدیل شبکه‌های عصبی مصنوعی به اسپایکی

یکی دیگر از روش‌های موجود روش تبدیل شبکه‌های عصبی مصنوعی به شبکه‌های عصبی اسپایکی می‌باشد. برای این کار ابتدا شبکه را با استفاده از داده‌های موجود آموزش می‌دهیم. سپس با استفاده از قیدهای از پیش تعیین شده شبکه را به شبکه‌ی اسپایکی تبدیل می‌کنیم. برای مثال می‌توان تابع تبدیلی تعریف کرد که مقدار حقیقی تابع را به زمان اسپایک تبدیل کند. سپس وزن‌های شبکه را به گونه‌ای انتخاب می‌کنیم که شبکه‌ی عصبی اسپایکی خروجی متناظر با شبکه‌ی عصبی مصنوعی تولید کند.

نکته‌ی مهم و قابل تامل در این زمینه این است که تمام عناصر شبکه‌های مصنوعی قابل تبدیل به شبکه‌های عصبی اسپایکی نیستند. برای مثال لایه‌هایی همچون لایه‌ی Average-Pooling و یا توابع فعال سازی به غیر از تابع ReLU قابل تبدیل به عناصر اسپایکی نیستند. چرا که این عناصر ماهیت حقیقی دارند.

۵.۱ روش آموزش نظارت شده

در قسمت‌های قبلی به روش آموزش نظارت شده اشاره شده است. به طور خلاصه در این روش نیاز داریم تا تابع خطا را طوری تعیین کنیم که خطا روی خروجی مورد نظر کمینه شود. سپس، خطای تولید شده توسط هر نورون را محاسبه می‌کنیم تا بتوانیم وزن‌های نورون‌ها را طوری تغییر دهیم که این خطا کمینه شود و در نتیجه خروجی مورد نظر تولید شود. مسئله‌ای که در شبکه‌های اسپایکی وجود دارد، این است که تابع فعال ساز نورون‌های اسپایکی، تابع ضربه، مشتق پذیر نیست. در واقع مشتق آن در تمامی نقاط صفر می‌باشد و در لحظه‌ای که تابع فعال می‌شود و اسپایک تولید میکند، مشتق آن تعریف نشده است. بنابراین نمی‌توانیم از روش‌های معمول برای بهینه کردن شبکه استفاده کنیم. در قسمت ۲.۳.۳ به

بررسی این موضوع و تعریف دقیق تابع خطا خواهیم پرداخت. برای حل مسئله مشتق پذیر نبودن تابع، چهار راهبرد کلی پیشنهاد شده است:

۱. پیاده سازی کامل فرایندهای بیولوژیکی و آموزش از طریق این روش‌ها، برای مثال استفاده از روش‌های آموزش محلی مانند روش STDP.

۲. تبدیل شبکه‌های اسپایکی به شبکه‌های مصنوعی

۳. نرم کردن شبکه‌ی اسپایکی و استفاده از اسپایک‌های نرم

۴. استفاده از گرادیان جایگزین برای توابع اسپایکی

در قسمت‌های قبلی راجع به مورد اول و دوم به طور مختصر بحث شد. در ادامه به بررسی موارد سوم و چهارم می‌پردازیم.

۱.۵.۱ نرم کردن شبکه‌ی اسپایکی

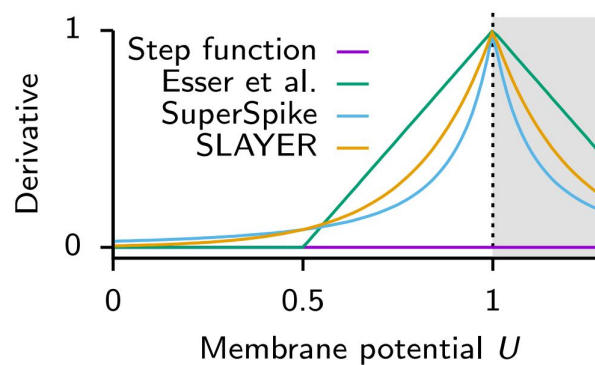
در واقع می‌توان گفت در روش نرم کردن شبکه‌ی اسپایکی از توابع و روش‌هایی استفاده می‌کنیم که مشتق پذیری شبکه را تضمین کنند. برای این کار چهار روش پیشنهاد شده است که عبارتند از: روش استفاده از توابع اسپایکی نرم مشتق پذیر، گرادیان در مدل‌های احتمالی، گرادیان در شبکه‌های کدگذاری نرخ-اسپایک، گرادیان در شبکه‌های تک-اسپایک (کدگذاری زمان اسپایک)، و روش گرادیان جایگزین.

۲.۵.۱ استفاده از توابع اسپایکی نرم مشتق پذیر

این روش را می‌توان بر روی تمامی شبکه‌های اسپایکی پیاده سازی کرد. در این روش به جای استفاده از تابع ضربه (تابع ضربه‌ی سخت) از توابع ضربه‌ی نرم استفاده می‌کنیم. برخلاف تابع ضربه‌ی سخت که مقدار آن ناپیوسته است و در همه‌ی نقاط به جز $U = \theta$ مقدار صفر دارد، تابع ضربه‌ی نرم مقدار پیوسته‌ای دارد که در تمامی نقاط مشتق پذیر هستند. مقدار این تابع به صورت پیوسته به نقطه‌ی θ می‌رسد. نمونه‌ای از این توابع در شکل ۲.۱ نشان داده شده است.

مزیتی که این روش دارد این است که پس از تغییر تابع، به سادگی می‌توان از روش‌های آموزش شبکه‌های بازگشتی، مانند BPTT^۴ یا RTRL^۵ استفاده کرد و این شبکه‌ها را آموزش داد. مشکلی که این روش دارد این است که شبکه از حالت اسپایکی خارج می‌شود و نورون‌ها دیگر خاصیت باینری ندارند و همانطور که می‌دانیم داشتن خروجی باینری یکی از مهمترین ویژگی شبکه‌های اسپایکی است. بنابراین می‌توان گفت این شبکه‌ها دیگر برخی از خواص شبکه‌های اسپایکی را ندارند و بیشتر به نوعی به شبکه‌ی بازگشتی مصنوعی شباهت دارند.

^۴ Back Propagation Through Time
^۵ Real-Time Recurrent Learning



نمودار ۲.۱: تابع ضربه (مورد اول) و مقایسه‌ی آن با مثال‌هایی از توابع ضربه‌ای نرم. منبع [۲۸]

۳.۵.۱ گرادیان در مدل‌های احتمالی

روش بعدی استفاده از مدل‌های احتمالی برای محاسبه‌ی گرادیان است. در این روش تابع ضربه به صورت احتمالی تعریف می‌شود. بنابراین می‌توان گرادیان تابع را بر روی امید ریاضی به سادگی تعریف کرد که در عین حال تابع دارای خروجی باینری نیز می‌باشد. در مدل‌های [۱۰]، [۵] و [۲۴] شبکه‌های یک لایه‌ای و چند لایه‌ای از این مدل، مورد بررسی قرار گرفته‌اند. تنها مسئله‌ی این روش این است که نویز وارد شده به سیستم، در هنگام نمونه‌گیری احتمالی اسپایک، باعث نرم شدن تابع ضربه و مشتق پذیری آن می‌شود، و از طرف دیگر گاهی باعث می‌شود مدل به سختی بهینه شود که همگرایی آن را تحت تاثیر قرار می‌دهد.

۴.۵.۱ گرادیان در شبکه‌های کدگذاری نرخ-اسپایک

یکی از روش‌های مرسوم دیگر برای بدست آوردن مقدار گرادیان در شبکه‌های اسپایکی استفاده مفهوم کدگذاری نرخ-اسپایک است. به طوری که فاکتورهای نورون‌های اسپایکی برای تولید اسپایک، حجم اسپایک ورودی آن نورون است. بنابراین می‌توان گفت که بین تعداد اسپایک‌های ورودی و خروجی رابطه‌ای برقرار است. این رابطه را می‌توانیم در قالب منحنی جریان-اسپایک یا $f-I$ برای نورون ترسیم کنیم، به طوری که در یک محور جریان ورودی به نورون و در محور دیگر نرخ اسپایک‌های خروجی را رسم می‌کنیم. در این موارد مشتق منحنی $f-I$ گزینه بسیار مناسب برای بهینه سازی نورون می‌تواند باشد. کارهای مختلفی در این زمینه انجام شده است که بین آنها می‌توان به [۱۵] و [۲۷] اشاره کرد. در هر کدام از این موارد از کدگذاری نرخ اسپایک استفاده کرده‌اند که بر روی مجموعه داده‌های CIFAR-10 و MNIST نتایج بسیار خوبی گرفتند. همچنین در [۱۹] که یک شبکه‌ی عمیق نشان داده شده است، بر اساس همین روش مشتق‌گیری آموزش می‌بیند. در این روش بر روی اسپایک‌های ورودی یک فیلتر low-pass قرار داده شده است که نتیجه‌ی آن را بهتر می‌کند.

روش‌های گرادیان کدگذاری نرخ-اسپایک، می‌توانند بسیار موثر باشند و نتایج خوبی را تولید کنند. هرچند این روش‌ها مشکل‌های دیگری نیز دارند. برای مثال دقت این مدل‌ها می‌تواند تحت شرایط

خاصی بسیار پایین بیاید چرا که برای محاسبه ی منحنی $f-I$ نیاز داریم تا تعداد اسپایک‌های ورودی و خروجی را میانگین بگیریم. این میانگین گیری نیاز دارد تا مقداری زمان از شروع پردازش بگذرد چرا که نویز تولید شده توسط این پروسه به حداقل برسد.

۵.۵.۱ گرادیان در شبکه‌های تک-اسپایک (کدگذاری زمان اسپایک)

در یک تلاش دیگر برای بهینه کردن شبکه‌های اسپایکی، بدون اضافه کردن نویزهای ناخواسته و بدون استفاده از روش‌های کدگذاری نرخ-اسپایک، استفاده از روش کدگذاری تک اسپایک است. در این گونه شبکه‌ها که هر نورون، تنها یک اسپایک تولید می‌کند، هر اسپایک حجم بالایی از اطلاعات را حمل می‌کند. ایده ی اصلی برای این روش در [۴] ارائه شده است. در این روش زمان اسپایک زدن در لایه‌های پنهان شبکه محاسبه می‌شود و برای این مقدار یک تابع خطی را در نظر می‌گیریم. بنابراین می‌توان مشتق این تابع را به سادگی محاسبه کرد. ولی این روش هم مشکلات خود را دارد. اولین و مهمترین مشکل آن این است که این روش فقط برای شبکه‌هایی کارایی دارد که تک-اسپایک هستند. علاوه بر این، مشکل دیگر این شبکه‌ها نورون‌هایی هستند که اسپایک تولید می‌کنند و ساکت هستند. برای این نورون‌ها نمی‌توان مقدار گرادیان را محاسبه کرد و باید روش دیگری برای این نورون‌ها پیاده سازی کنیم.

۶.۵.۱ روش گرادیان جایگزین

روش‌های گرادیان جایگزین، راه حل مناسبی برای مسئله پیوسته نبودن تابع فعال سازی نورون‌های اسپایکی هستند. فلسفه ی اصلی این روش این است که به جای تغییر تابع و گرادیان، روشی پیشنهاد می‌دهیم که گرادیان را نرم تر کند و در نتیجه مقدار آن پیوسته می‌شود. مسئله مهم تر این است که این نرم کردن گرادیان فقط در مرحله ی بهینه سازی پارامترها کاربرد دارد و در مرحله اجرای شبکه تاثیری ندارد. یکی دیگر از خواص مهم این روش این است که می‌تواند شبکه را بدون نیاز به مشخص کردن روشهای کد گذاری و سایر پارامترها آموزش دهد. در واقع این روش نیاز به دانستن این پارامترها ندارد. روش گرادیان جایگزین این قابلیت را دارد تا همانند روش کاهش گرادیان معمولی بتواند از متدهایی مانند BPTT بهره بگیرد.

تا به حال تحقیق‌های متعددی از روش گرادیان جایگزین استفاده کرده‌اند تا بتوانند با استفاده از روش BPTT شبکه ی اسپایکی را آموزش دهند. این کار تنها با تغییر جزئی در شبکه به وجود می‌آید و آن این است که در هر حلقه ی اجرای الگوریتم آموزش، از مقدار گرادیان یک تابع دیگر به جای گرادیان تابع اسپایکی استفاده می‌کنیم. این روش را حتی می‌توان در ابزارهای جدید که از تکنیک‌های مشتق خودکار استفاده می‌کنند نیز استفاده کرد. یکی از اولین استفاده‌ی این روشها در [۳] پیاده سازی شده است. که در آن گرادیان تابع اسپایکی با گرادیان توابع چند جمله ای کوتاه شده جایگزین شده است که نتیجه ی آن مشتق تابع ReLU به وجود آمده است. همچنین در تحقیقات [۶] و [۹] نیز از روش گرادیان جایگزین الهام گرفته شده تا شبکه‌های بزرگتر را با لایه‌های کانولوشنال با تابع اسپایکی آموزش دهند. در [۳۳]

نیز یک روش آموزش سه فاکتوره ارائه کردند که از قسمت منفی تابع سیگموید استفاده می‌کند و با آن گرادیان جایگزین را می‌سازد. همچنین در [۲] نیز با استفاده از همین قسمت منفی تابع سیگموئید، شبکه ای با خاصیت زمانی را با موفقیت آموزش می‌دهد. در این تحقیق نویسنده پی می‌برد که می‌توان از این روش استفاده کرد تا شبکه ی کانولوشنال با لایه‌های حافظه ای کوتاه-بلند مدت را آموزش داد. نهایتاً در [۳۲] از تابع نمایی برای گرادیان جایگزین استفاده شده که در آن نویسنده به نتایج بسیار خوبی نسبت به روش‌های سخت افزارهای نورومورفیک پیشین، رسیده است.

به طور خلاصه در تحقیقات متعددی از روش گرادیان جایگزین استفاده کرده‌اند که در آنها از توابع فعال سازی مختلف و توابع جایگزین مختلفی استفاده شده است که در آنها شبکه‌هایی با ساختارهای گوناگون مورد بررسی قرار گرفته است. هر چند تمام این توابع فعال سازی، همگی یک وجه مشترک دارند و آن این است که همه آنها به طور یکنواخت نسبت به نقطه ی اسپایک افزایش مقدار می‌دهند.

فصل ۲

تعریف مسئله

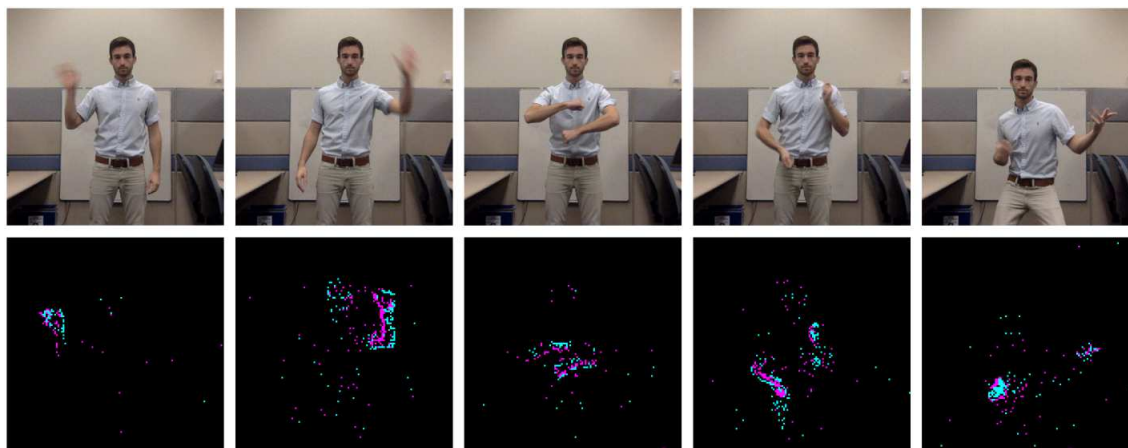
مسئله‌ی انتخاب شده برای این پایان نامه تشخیص ژست حرکتی توسط شبکه‌های اسپایکی می‌باشد. در این قسمت به بررسی صورت مسئله و هدف از حل این مسئله می‌پردازیم.

۱.۲ تشخیص ژست حرکتی

یکی از شاخه‌های بینایی ماشین، مبحث تشخیص ژست حرکتی می‌باشد که در آن به کمک روش‌های یادگیری ماشین قصد داریم ژست‌های حرکتی انسان را تشخیص دهیم. برای درک صورت مسئله ابتدا باید لغت ژست حرکتی را تعریف کنیم. در اینجا ژست که ترجمه‌ی لغت Gesture است، به معنی موقعیت فیزیکی جسم است که می‌تواند اطلاعاتی از وضعیت درونی آن جسم بیان کند. جسم فیزیکی مورد بررسی در اینجا انسان است و هدف از این ژست بیان اطلاعات و یا درخواست‌های او است. یک مثال ساده از این گونه ژست‌ها، لبخند می‌باشد که بیانگر حس شادی و شمع در فرد می‌باشد و می‌تواند اطلاعات مفیدی را در تعامل بین دو فرد منتقل کند. ما همواره در حال تعامل و انتقال اطلاعات با استفاده از این ژست‌ها هستیم.

تشخیص این ژست‌ها می‌تواند در زمینه‌های مختلفی کاربرد داشته باشد. یکی از مثال‌های این مسئله می‌تواند تحلیل حرکتی انسان بوده و حل این مسئله می‌تواند برای موارد پزشکی سودمند باشد، یکی از این مثال‌ها برنامه‌هایی هستند که سعی می‌کند تا با استفاده از تحلیل اسکلت بندی و حرکتی فرد به دنبال مشکل در سیستم حرکتی او شوند [۲۹] و [۲۶]. مثال دیگر کاربرد این مسائل می‌تواند در تعامل انسان و ربات بوده که خود شاخه‌ی بسیار بزرگی را تشکیل می‌دهد. در این گونه مسائل به دنبال این هستیم که ربات بتواند برداشتی از حرکت انسان داشته باشد. برای مثال دستوری را که سوژه‌ی انسانی مد نظر دارد را تشخیص دهد و آن را اجرا کند. [۲۲] و [۳۱]

در ادامه به بررسی ژست‌های حرکتی خواهیم پرداخت. این ژست‌ها به حرکت‌هایی گفته می‌شوند که هر بخش آن به تنهایی، و در حالت سکون، معنی دیگری ممکن است داشته باشد و یا معنی خاصی ندهد



نمودار ۱.۲: در این تصویر نمونه‌هایی از مجموعه داده‌ی IBM-DVSGesture مشاهده می‌شود. تصاویر بالا با دوربین مبتنی بر پیکسل عادی تهیه شده و تصاویر پایین مربوط به همان سوژه است که با حسگر DVS گرفته شده است. منبع: [۱]

ولی مجموعه‌ی به هم پیوسته‌ی این ژست‌ها معنی واحدی می‌دهند. برای مثال می‌توان تکان دادن دست در هوا را در نظر گرفت که معنی خداحافظی می‌دهد.

به طور کلی تشخیص ژست‌ها می‌تواند کاربردهای زیادی داشته باشند. مهمترین کاربرد آنها در تعامل ربات با انسان است. به عبارت دیگر این ژست‌ها می‌تواند یکی از درگاه‌های تعامل ما با دنیای هوش مصنوعی باشد. این تعامل‌ها می‌تواند شامل مثال‌های ساده‌ای همچون کنترل وسایل خانگی تا مثال پیچیده تری از تشخیص و تحلیل احساسات انسانی توسط هوش مصنوعی باشد.

تشخیص ژست‌های ایستا که دارای حرکت نیستند نسبت به ژست‌های حرکتی، کار ساده‌تری است، چرا که بعد زمان در این ژست‌ها در نظر گرفته نمی‌شود. این در حالی است که تشخیص ژست‌های حرکتی می‌تواند بسیار مفیدتر از ژست‌های ایستا باشد چرا که ژست‌های حرکتی می‌تواند اطلاعات خیلی بیشتری را در بر داشته باشند.

در این پایان نامه از دو مجموعه داده استفاده شده است. مجموعه داده‌ی اول توسط شرکت IBM جمع آوری شده است که در آن افراد در مقابل حسگر DVS^۱ به انجام تعداد مشخصی ژست حرکتی می‌پردازند. در این مجموعه ۲۹ نفر مختلف در ۳ شرایط نوری مختلف، ۱۱ ژست حرکتی را اجرا می‌کنند. شرایط نوری و ژست‌های حرکتی در جدول‌های ۱.۲ و ۲.۲ مشخص شده است. نکته‌ی متمایز کننده‌ی این مجموعه داده همین شرایط نوری مختلف است، چرا که این شرایط می‌تواند در الگوی تولید اسپایک در حسگر DVS تاثیر چشمگیری داشته باشد. برای مثال اسپایک‌هایی که در نور طبیعی تولید می‌شوند تقریباً یکدست هستند، در حالی که در حسگر در نور لامپ تقریباً اسپایک‌هایی با الگویی متناظر با فرکانس لامپ تولید می‌کند. این مجموعه داده IBM-DVSGesture نام دارد. [۱] نمونه‌ای از این داده‌ها را در تصویر ۱.۲ مشاهده می‌کنیم.

^۱Dynamic Vision Sensor

شماره	نام ژست حرکتی
۱	clap hand
۲	wave hand right
۳	wave hand left
۴	clockwise arm right
۵	clockwise counter arm right
۶	clockwise arm left
۷	clockwise counter arm left
۸	roll arm
۹	drums air
۱۰	guitar air
۱۱	gestures other

جدول ۱۰.۲: جدول مربوط به ژست‌های حرکتی در مجموعه داده‌ی IBM-DVSGesture

شماره	شرایط نوری
۱	Fluorescent
۲	LED
۳	Light Natural

جدول ۲۰.۲: جدول مربوط به شرایط نوری در مجموعه داده‌ی IBM-DVSGesture

مجموعه‌ی داده‌ی دوم، که NavGesture نام دارد، شامل تعداد کمتری داده نسبت به مجموعه‌ی قبلی است. برای جمع‌آوری این داده، حسگر DVS بر روی تلفن همراه نصب شده و فرد مورد نظر را از این زاویه می‌نگرد و فرد مورد نظر فرمان‌هایی را به صورت ژست حرکتی به تلفن همراه می‌دهد. هدف این تحقیق، پیشرفت در راستای ارتباط انسان با تلفن‌های همراه است. نکته‌ی قابل توجه این تحقیق این است که در دو قسمت جداگانه وجود دارد. در قسمت اول سوژه‌ی مورد نظر نشسته و حرکت ندارد و در قسمت دوم سوژه در حال حرکت است. این حرکت باعث افزایش نویز محیط است که به واسطه‌ی حرکت دوربین به وجود می‌آید. [۲۱] نتایج این تحقیق‌ها در قسمت ۵.۳ بررسی شده است.

۲.۲ مروری بر تحقیق‌های انجام شده

دیتاست IBM-DVSGesture از مقاله‌ی [۱] استخراج شده است. محققان در این پایان‌نامه تلاش داشته‌اند تا با استفاده از شبکه عصبی اسپایکی که بر روی سخت‌افزارهای نورومورفیک پیاده‌سازی شده است مسئله‌ی تشخیص ژست حرکتی را حل کنند. همانطور که پیشتر گفته شد این مجموعه داده، توسط حسگر DVS تهیه شده است. علاوه بر این کد پیاده‌سازی شده در این تحقیق بر روی سخت‌افزار

TrueNorth بوده است که توسط IBM طراحی و توسعه یافته است. ساختار شبکه‌ی اسپایکی استفاده شده در این تحقیق شامل چهار بخش است که به طور خلاصه توضیح داده می‌شود.

بخش اول شبکه یک لایه فیلتر زمانی است که وظیفه‌ی نگهداری اسنپ‌شات‌های متوالی از داده‌های ورودی برای مدت زمان مشخصی را دارد. این لایه دارای k فیلتر است که در ابتدا فیلتر اول، سری اول از داده ورودی را در خود نگه می‌دارد. سپس در سیکل زمانی بعدی، لایه دوم، مقادیر لایه اول را در خود کپی می‌کند و سپس لایه اول سری دوم را از ورودی می‌خواند. و به همین ترتیب اطلاعات از لایه اول شروع تا به آخرین فیلتر زمانی می‌رسد. در واقع وظیفه‌ی این فیلتر تولید نوعی حافظه‌ی کوتاه مدت است. لازم به ذکر است که تمام این لایه‌ها به صورت همزمان به لایه‌های کانولوشن متصل می‌باشند.

بخش دوم، لایه‌های کانولوشن است. این لایه‌ها مشابه لایه‌های کانولوشنال در شبکه‌های مصنوعی می‌باشد و با این تفاوت که به جای تابع فعال سازی ReLU از تابع باینری استفاده شده است. همچنین وزن این لایه‌ها نیز به صورت سه تایی می‌باشد که می‌توانند وزن‌های صفر، یک یا منفی یک را بپذیرند. آموزش در این لایه به صورت آفلاین و خارج از سخت افزار نورومورفیک است. برای آموزش وزن‌ها هم از نوعی الگوریتم بازگشت خطا کمک گرفته شده است. در این الگوریتم یک کپی از وزن‌های شبکه به صورت مقدار صحیح نگهداری می‌شود و عمل بازگشت خطا و بهینه سازی روی این وزن‌ها اجرا می‌شود و سپس این وزن‌ها به وزن‌های سه گانه تبدیل می‌شوند. شبکه‌ی استفاده شده در این تحقیق دارای ۱۶ لایه کانولوشنال است.

بخش سوم لایه، winner-takes-all است. این بخش بعد از بخش کانولوشنال قرار دارد و دارای مکانیزمی است که به بعد از اسپایک زدن هر نورون، پتانسیل نورون‌های مجانب آن تقلیل می‌یابد. بنابراین بعد از اسپایک زدن هر نورون احتمال اسپایک زدن نورون‌های اطراف آن بسیار پایین می‌آید. این لایه نقش کلاس بندی شبکه را نیز ایفا می‌کند و یکی از کلاس‌ها را به عنوان خروجی می‌دهد. آخرین بخش فیلتر، sliding window است که خروجی بخش سوم را نرم می‌کند که نحوه پیاده سازی آن به صورت میانگین n فریم قبلی است.

در تحقیق انجام شده در [۱۶]، نشان داده شده است که می‌توان با استفاده از شبکه‌های اسپایکی به نتایج قابل قبول، در حد دقت شبکه‌های عصبی مصنوعی برسیم. ساختار شبکه به این صورت می‌باشد که در ابتدا، یک لایه‌ی کدگذاری زمانی قرار دارد. این لایه که از نوع تفاوت گاوسی می‌باشد، وظیفه دارد مقادیر پیکسل‌های تصویر که بیانگر شدت نور در این پیکسل است را به اسپایک تبدیل کند. این تبدیل به این صورت است که هر چه مقدار شدت نور در پیکسل بیشتر باشد اسپایک در آن پیکسل زودتر اتفاق می‌افتد و هر چه مقدار شدت نور کمتر باشد، اسپایک دیرتر و یا اصلاً اتفاق نمی‌افتد.

بعد از لایه کدگذاری، تعدادی لایه‌ی کانولوشن قرار دارد. در مسئله‌ای که در این تحقیق مورد بحث قرار گرفته، از سه لایه کانولوشنال استفاده شده که بعد از هر لایه، یک لایه پولینگ قرار دارد. نهایتاً بعد از لایه‌های کانولوشنال، یک لایه کلاس بندی قرار دارد که نتیجه‌ی لایه‌های کانولوشنال را تشخیص دهد و خروجی مسئله را تولید کند. لازم به ذکر است که نورون‌های لایه‌های کانولوشنال از نوع IF می‌باشند که به این معنی است که مقدار ولتاژ درونی آنها در طول زمان کاهش پیدا نمی‌کنند و فقط مقدار جریان

ورودی را جمع آوری می‌کنند.

نوع کدگذاری در این تحقیق از نوع کدگذاری زمان-اسپایک می‌باشد. به این معنی که در لایه اول، پس از این که اسپایک‌های تصویر تولید شد، هر نورون ورودی حداکثر یک اسپایک تولید می‌کند. سپس لایه‌های کانولوشنال، این اسپایک‌ها را جمع آوری می‌کنند و پس از این که مقدار ولتاژ درونی آنها از حد مشخص گذر کرد اسپایک خروجی را تولید می‌کنند و دیگر اسپایک دیگری تولید نمی‌کنند. به عبارت دیگر، لایه‌های کانولوشنال بلافاصله پس از این که مقدار پتانسیل درونی آنها از آستانه‌ی تحمل رد شد، اسپایک تولید می‌کنند و همچنین در لایه‌های پولینگ نیز نورون‌ها پس از دریافت اولین اسپایک ورودی، اسپایک تولید می‌کنند و باقی اسپایک‌های ورودی را نادیده می‌گیرند.

یکی دیگر از مکانیزم‌هایی که در این تحقیق استفاده شده، مکانیزم winner-takes-all می‌باشد. این مکانیزم باعث می‌شود که در هر ناحیه از لایه‌ی کانولوشنال، صرف نظر از صفحه‌ی ویژگی، اگر اسپایکی پدیدار شود، دیگر در همسایگی آن نقطه هیچ نورونی نمی‌تواند اسپایک تولید کند. این امر باعث می‌شود شبکه، ویژگی‌های مهم و متداول را یاد بگیرد. در قسمت‌های بعدی به طور دقیق تر به آن خواهیم پرداخت. آموزش در این شبکه به صورت لایه به لایه و با استفاده از متد STDP انجام می‌شود و منظور از لایه به لایه این است که آموزش هر لایه، پس از پایان آموزش لایه قبل شروع می‌شود و به صورت نظارت نشده انجام می‌شود.

در [۱۷] از شبکه‌های کانولوشنال عمیق استفاده شده ولی با این تفاوت که در این تحقیق از آموزش نظارت شده استفاده نشده است و محققان از روش STDP برای آموزش شبکه استفاده کرده‌اند. [۱۳] نیز تلاش کرده است تا مسئله‌ی تشخیص ژست را حل کند. اگرچه در این تحقیق از ژست‌های بدون حرکت استفاده شده ولی در این مقاله از شبکه‌های اسپایکی استفاده شده است که با روش STDP آموزش می‌بینند. در این تحقیق از نورن‌های IF استفاده شده که تنها یک بار اسپایک تولید می‌کنند و همچنین این شبکه کانولوشنال نیست.

در مقاله‌ی [۲۳] روشی برای آموزش نورون‌های IF ارائه شده است که می‌توان شبکه‌های چند لایه را با این روش به صورت نظارت شده آموزش داد. این روش بر مبنای روش گرادیان جایگزین است که در آن با استفاده از قانون Hebbian Three-Factor Rule وزن‌های نورون‌ها را آموزش می‌دهیم. این روش به این صورت عمل می‌کند که نورون‌هایی که قطبیت آنها تغییر می‌کند، سیگنال آموزشی متناظر با ضریب آموزشی از پیش تعیین شده‌ای، دریافت می‌کنند. این عمل در زمان اجرا رخ می‌دهد و نیازی به بازگرداندن خطا نیست. در [۱۵] نیز، روش مشابه‌ای برای آموزش نورون‌های LIF ارائه شده است.

روش‌های ساده و متداول سیگنال‌های آموزشی را بر اساس مقدار فعالیت نورون به آنها انتقال می‌دهند. این روش‌ها اغلب با بزرگ شدن اندازه‌ی شبکه و با اضافه شدن تعداد لایه‌های آن کارایی خود را از دست می‌دهند. در مقاله‌ی [۲۰] روش جدیدی برای انتقال رو به عقب سیگنال‌های آموزشی ارائه شده که در آن بر روی بازگشت خطا تنها به نورون‌های که در تولید خطا نقش داشته‌اند تمرکز شده است. این مقاله بر روی مجموعه داده‌ی MNIST آزمایش شده و توانسته است در شرایط یکسان و تنها با استفاده از این روش خطای آموزشی شبکه‌ی مورد آزمایش را از ۷٪ به ۲٪ کاهش دهد.

همین مسئله در مقاله‌ی [۲۵] با روش متفاوتی حل شده. در این تحقیق که بر روی مجموعه داده‌ی CIFAR-10 بررسی شده است، هر نورون خطای آموزشی خود را مستقیماً با استفاده از خطای نهایی شبکه و با بهره‌گیری از مکانیزم Random Auxiliary Classifiers محاسبه می‌کند. و هر نورون با استفاده از این خطا و بدون وابستگی به سایر نورون‌ها و لایه‌ها آموزش می‌بیند. یکی از مزیت‌های این روش نیز این است که لایه‌ها به صورت همزمان می‌توانند آموزش ببینند.

مقاله‌ی [۱۹] به مسئله‌ی مشتق ناپذیر بودن تابع اسپایک پرداخته است. در این مقاله برای محاسبه‌ی سیگنال آموزشی، به جای مشتق گرفتن از تابع اسپایک، از مقدار مشتق پتانسیل داخلی نورون استفاده شده است. از آنجایی که این مقدار رابطه‌ی مستقیمی با فعالیت و مقدار اسپایک‌های خروجی نورون دارد، و همچنین مقدار آن به جز در زمان اسپایک، پیوسته است، مقدار مناسبی برای جایگزینی با مشتق تابع اسپایک می‌باشد. البته نکته‌ی قابل تامل این است که این مقدار در لحظه‌ی اسپایک دارای ناپیوستگی است که می‌توان آن را به عنوان اختلال در سیستم تلقی کرد و تأثیری در کارکرد کلی سیستم نخواهد داشت. این مقاله بر روی مجموعه داده‌ی MNIST پیاده سازی شده است.

در [۳۰] به طور کلی از مکانیزم بازگشت خطا صرف نظر شده، و به جای آن از روش Feedback Alignment استفاده شده. این روش که به شبکه‌های عصبی بیولوژیکی شباهت بیشتری دارد، خطای آموزشی را با استفاده از اتصالات تصادفی به طور مستقیم به لایه‌ها و نورون‌ها منتقل می‌کند و شبکه را آموزش می‌دهد. این مقاله بر روی مجموعه داده‌های MNIST و CIFAR پیاده سازی شده است.

به طور مشابه‌ی شبکه‌ی مورد استفاده در [۲۴]، از مدل نورونی احتمالاتی استفاده شده است. برای آموزش این مدل، به جای استفاده از روش‌های بازگشت خطا، از مکانیزم winner-takes-all استفاده شده است. در این مکانیزم، نورونی که زودتر اسپایک تولید کند برنده محسوب می‌شود و پتانسیل نورون‌هایی که در مجاورت این نورون قرار دارند کاهش می‌یابند. به این ترتیب احتمال اسپایک زدن این نورون‌ها در سیکل‌های آتی کمتر خواهد بود. در نتیجه نورون‌ها سعی می‌کنند تفاوت‌هایی که از هم فاصله‌ی بیشتری دارند را یاد بگیرند. این تحقیق بر روی مجموعه داده‌ی MNIST پیاده سازی شده است.

در شبکه‌های عصبی بیولوژیکی، سیگنال‌های عصبی بسته به فاصله‌ی فیزیکی نورون‌ها ممکن است با تاخیر به مقصد برسند. یکی از روش‌های بهبود کارایی شبکه‌های اسپایکی پیاده سازی این تاخیر سیگنال‌های عصبی است. در مقاله‌ی [۳۲] همزمان با وزن‌های شبکه، ضریب شبیه سازی تاخیر سیگنال‌های عصبی نیز بهینه می‌شود که نشان داده شده می‌تواند توانایی شبکه را بهبود ببخشد. در این تحقیق از معماری کانولوشنال برای یادگیری مجموعه داده‌های MNIST، TIDigits و DVS-Gesture استفاده شده. برای مدل سازی نورون‌ها نیز از مدل احتمالاتی نورون اسپایکی استفاده گردیده است که بر روی سخت افزارهای نورومورفیک، آزمایش و بررسی شده‌اند.

یکی از معماری‌های مهم شبکه‌های عصبی، شبکه‌های بازگشتی است. در مقاله‌های [۱۴] و [۵] بر روی نورون‌های بازگشتی تحقیق کردند. در مدل نورونی که توسط مقاله‌ی [۵] ارائه گردیده، نورون‌های بازگشتی در قالب شبکه‌ی کامل اقدام به یادگیری مسئله می‌کنند. در این روش از مدل آماری نورون‌های اسپایکی استفاده شده که با کمینه کردن کران بالای مقدار Kullback-Leibler، نورون‌ها آموزش می‌بینند.

همچنین، در مقاله‌ی [۱۴] روشی برای آموزش و بهینه کردن نورون‌های بازگشتی، بر اساس روش گرادیان جایگزین ارائه شده است. در این مقاله به جای تابع اسپایک، از مقادیر پتانسیل و جریان‌های ورودی نورون‌ها، سیگنال آموزشی محاسبه و نورون‌ها آموزش می‌بینند. به طور مشابهی نیز در [۲] از شبکه‌هایی با معماری بازگشتی استفاده شده است. با این تفاوت که این مقاله یک قدم نیز فراتر رفته و مکانیزم LSTM را پیاده سازی کرده است و آن را با استفاده از روش BPTT آموزش می‌دهد.

اغلب مقاله‌های فوق، دارای کدگذاری نرخ اسپایک هستند. در مقاله‌ی [۲۳] روشی برای آموزش شبکه‌های مبتنی بر کدگذاری زمان اسپایک، در زمان اجرا ارائه شده است. در این مقاله وجود رابطه‌ی میان جریان ورودی و خروجی نورون‌ها نشان داده شده که در تمامی نقاط مشتق پذیر است و می‌توان سیگنال آموزشی را بر اساس این مقادیر محاسبه کرد. این مقاله نیز بر روی مجموعه داده‌ی MNIST پیاده سازی شده است.

در مقاله‌ی [۶] شبکه‌ی عصبی مصنوعی دودویی و روشی برای آموزشی آن ارائه شده. اگرچه این شبکه‌ها از بسیاری از مزیت‌های شبکه‌های عصبی اسپایکی محروم هستند، ولی به دلیل استفاده از عملگرهای دودویی، از نظر مقدار حافظه و توان پردازشی مورد نیاز، بسیار بهینه‌تر از شبکه‌های عصبی مصنوعی متداول هستند و به دلیل نداشتن ماهیت اسپایکی به سادگی بر روی GPU قابل شبیه سازی هستند. در این مقاله که بر روی مجموعه داده‌های MNIST، CIFAR-10 و SVHN پیاده سازی شده است، روشی برای محاسبه‌ی گرادیان نورون‌ها در هنگام اجرای شبکه نیز ارائه گردیده.

فصل ۳

روش شناسی و پژوهش

در این پژوهش ما از دو منبع به عنوان کد پایه برای این پروژه استفاده کردیم: پروژه ی SpyTorch^۱ و پروژه ی S2Net^۲.

پروژه ی SpyTorch بر روی مجموعه داده Fashion-MNIST توسعه پیدا کرده است. این مجموعه داده متشکل از تصاویر ۴۸ در ۴۸ پیکسلی سیاه و سفید می باشد که از البسه ی مختلفی گرفته شده است. به دلیل این که این شبکه بر روی داده های تصویری مبتنی بر پیکسل کار می کند، به لایه تبدیل تصویر مبتنی بر پیکسل، به تصویر مبتنی بر اسپایک کار می کند. همچنین این شبکه دارای کد گذاری نرخ-اسپایک است. این پروژه فقط دارای پیاده سازی لایه های کامل است و از لایه های کانولوشنال استفاده نمی کند.

در قدم بعدی کار S2Net را مورد بررسی قرار دادیم. این پروژه بر روی داده های صوتی-اسپایکی متمرکز شده است. در این پروژه لایه های ساده ی کانولوشنی پیاده سازی شده است. ولی پس از بررسی های انجام شده این شبکه به تنها قادر به یادگیری داده های ژست حرکتی نیست. و در اولین قدم نیاز است که بعد لایه های کانولوشن را افزایش دهیم. همچنین این شبکه فاقد لایه های Batch-Norm، Pooling، Dropout و... است.

۱.۳ آماده سازی داده ها

در اولین قدم پردازش نیاز است که داده ها پیش پردازش شوند و آماده سازی شوند. این مرحله در بسیاری از شبکه های عصبی به خصوص مواردی که بر روی تصویر کار می کنند مرحله ای رایج است. اغلب این مرحله شامل کارهایی از قبیل تمیز کردن تصویر و حذف نویزهای اضافی آن، درست کردن اندازه ی تصویر و... می باشد. اما از آنجایی که داده ی استفاده شده در این پایان نامه به صورت اسپایک می باشد مرحله ی آماده سازی داده کمی متفاوت تر می باشد. مهم ترین قسمت این مرحله تغییر شکل داده ها

^۱ <https://github.com/fzenke/spytorch>
^۲ <https://github.com/romainzimmer/s2net>

از جریان اسپایک به مجموعه اسپایک‌های مبتنی بر فریم است. در ادامه به جزئیات بیشتر این مرحله می‌پردازیم.

۱.۱.۳ تبدیل تصویر مبتنی بر پیکسل به تصویر اسپایکی

همانطور که قبل تر گفته شد، ساختار این پروژه بر اساس تحقیق [۲۸] بنا نهاده شده است. اما تفاوت اصلی کار ما با این پروژه در این است که مجموعه داده‌ای که ما استفاده کرده‌ایم تشکیل شده از جریان اسپایک است. این در حالی است که این تحقیق از تصویرهایی بر مبنای پیکسل استفاده می‌کند و از آنجایی که شبکه‌ی استفاده شده از نوع اسپایکی است، نیاز است داده‌های تصویر به اسپایک تبدیل شوند. این کار را لایه‌ی تبدیلی که در ابتدای شبکه قرار دارد انجام می‌دهد. نحوه‌ی کار کرد این لایه در معادله‌ی زیر قابل مشاهده است:

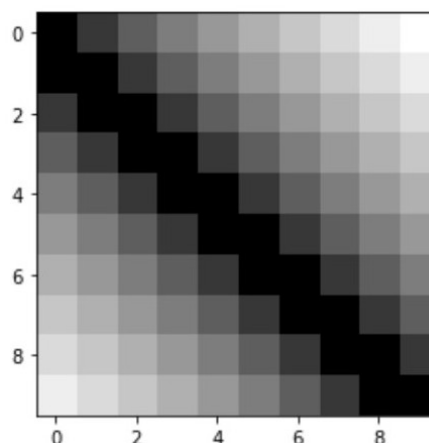
$$T(x) = \begin{cases} T_{max} & \text{if } x < \text{threshold} \\ \tau \log\left(\frac{x}{x - \text{threshold}}\right) & \text{otherwise} \end{cases} \quad (۱.۳)$$

در این معادله، تابع T ، نگاشت عددی شدت نوری پیکسل‌ها به زمان اسپایک است. پارامتر مهم این معادله مقدار threshold است. این مقدار بیانگر حداقل مقداری است که پیکسل باید مقدار داشته باشد تا مجاز به تولید اسپایک کند. مقدارهایی که کمتر از این threshold مقدار دارند اسپایکی تولید نمی‌کنند. به عبارت دیگر در زمان T_{max} اسپایک تولید می‌کند که در واقع زمانی است که شبکه هرگز به آن نمی‌رسد و قبل از پردازش داده متوقف می‌شود. پارامتر بعدی مقدار τ است که ثابت زمانی غشا نوروں LIF است که مشخص می‌کند نوروں در چه زمانی شارژ می‌شود. در واقع با افزایش این مقدار، اسپایک‌ها بیشتر در انتهای اسپکتروم زمانی تشکیل می‌شوند و با کم کردن آن، اسپایک‌ها به زمان صفر نزدیک تر می‌شوند. نهایتاً T_{max} حداکثر تعداد سیکلی است که شبکه کار می‌کند. شبکه هیچگاه به زمان T_{max} نخواهد رسید و قبل از آن متوقف خواهد شد. نمونه‌ای از مقدار تصویر، و مقدار زمان اسپایک آن در شکل ۱.۳ قابل مشاهده است. لازم به ذکر است که مقدار x قبل از این معادله باید به مقدار بین صفر تا یک نرمال شود تا کدینگ‌های مختلف تصویر در این معادله تاثیر منفی نگذارند. از آنجایی که داده‌ی استفاده شده در این پایان نامه به صورت اسپایکی می‌باشد، نیازی به اضافه کردن این لایه تبدیل داده‌ها در این پایان نامه نبوده است.

۲.۱.۳ فریم بندی جریان اسپایک

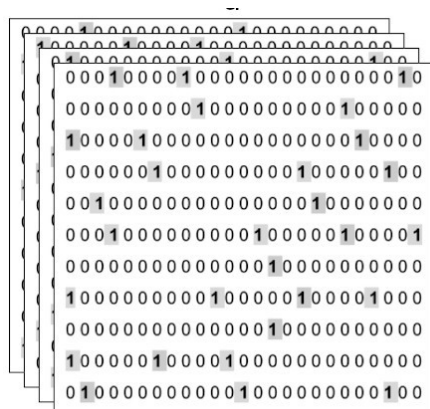
همان طور که در قسمت قبلی گفته شد، پردازش داده‌ها در کد [۲۸] به صورت مبتنی بر فریم است. ما نیز در پروژه‌ی خود از پردازش مبتنی بر فریم استفاده کردیم. اگرچه پردازش مبتنی بر فریم برای پیاده سازی در سخت افزارهای نورومورفیک مناسب نیست و نیز هدف اصلی استفاده از حسگرهای DVS


```
[255, 199, 161, 130, 103, 79, 57, 36, 17, 0]
[255, 255, 199, 161, 130, 103, 79, 57, 36, 17]
[199, 255, 255, 199, 161, 130, 103, 79, 57, 36]
[161, 199, 255, 255, 199, 161, 130, 103, 79, 57]
[130, 161, 199, 255, 255, 199, 161, 130, 103, 79]
[103, 130, 161, 199, 255, 255, 199, 161, 130, 103]
[79, 103, 130, 161, 199, 255, 255, 199, 161, 130]
[57, 79, 103, 130, 161, 199, 255, 255, 199, 161]
[36, 57, 79, 103, 130, 161, 199, 255, 255, 199]
[17, 36, 57, 79, 103, 130, 161, 199, 255, 255]
```



(آ) تصویر مبتنی بر پیکسل

(ب) مقادیر عددی شدت نوری پیکسل‌ها



```
[12, 16, 20, 26, 34, 47, 74, 167, -, -]
[12, 12, 16, 20, 26, 34, 47, 74, 167, -]
[16, 12, 12, 16, 20, 26, 34, 47, 74, 167]
[20, 16, 12, 12, 16, 20, 26, 34, 47, 74]
[26, 20, 16, 12, 12, 16, 20, 26, 34, 47]
[34, 26, 20, 16, 12, 12, 16, 20, 26, 34]
[47, 34, 26, 20, 16, 12, 12, 16, 20, 26]
[74, 47, 34, 26, 20, 16, 12, 12, 16, 20]
[167, 74, 47, 34, 26, 20, 16, 12, 12, 16]
[-, 167, 74, 47, 34, 26, 20, 16, 12, 12]
```

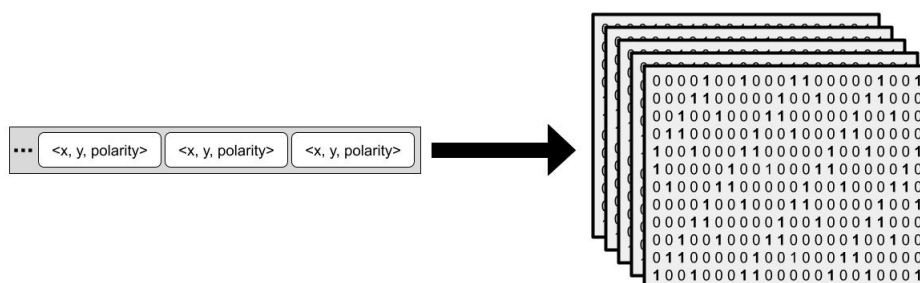
(ج) زمان اسپایک هر نقطه از تصویر

(د) ماتریس اسپایک‌ها در طول زمان

نمودار ۱.۳: در شکل ۱.۳ آ نمونه‌ی تصویر مبتنی بر پیکسل نمایش داده شده است. در شکل ۱.۳ ب مقدار پیکسل‌های قسمت کوچکی از تصویر نمایش داده شده است. لازم به ذکر است که در کدینگ uint8 مقدار پیکسل‌ها بین ۰ تا ۲۵۵ می‌باشد. مقدار ۰ بیانگر رنگ سیاه (پیکسل خاموش) و ۲۵۵ بیانگر رنگ سفید (پیکسل روشن) است. شکل ۱.۳ ج مقدار تبدیل شده‌ی تصویر به زمان اسپایک را نشان می‌دهد. هر درایه ماتریس، زمانی که در آن پیکسل اسپایک می‌زند را مشخص می‌کند و مقدارهای *inf* نشان دهنده‌ی این است که پیکسل اسپایکی در زمان کار کردن شبکه تولید نمی‌کند. شکل ۱.۳ د نشان دهنده‌ی مقدار اسپایکی پیکسل‌ها را نشان می‌دهد که در هر سیکل شبکه می‌تواند مقدار یک یا صفر بگیرد که نشان دهنده‌ی این است که در آن سیکل اسپایک تولید کرده است یا نه.

بهره مندی از خاصیت پراکنده بودن داده‌ها است، ولی در این پایان نامه، از این قابلیت صرف نظر کردیم و این داده‌ها را به صورت ماتریسی، در قالبی منظم که به آن تصاویر اسپایکی مبتنی بر فریم می‌گوییم، تبدیل و پردازش می‌کنیم. دلیل این تصمیم این است که شبیه سازی شبکه‌هایی که با داده‌های منظم کار کنند در GPUها، و به طور کلی در سخت افزارهای von-neumann بسیار ساده‌تر خواهد بود، و پردازش آنها به مراتب سریع‌تر انجام خواهد شد. به همین منظور و همچنین به دلیل عدم دسترسی به پردازنده‌های نورومورفیک، این تبدیل را انجام داده‌ایم تا هم سرعت پردازش و آموزش شبکه را بالا ببریم و هم در زمان کوتاه‌تر بتوانیم سیستم را توسعه دهیم.

بنابراین، اولین قدم در پیش پردازش داده‌ها تبدیل جریان اسپایک‌های ورودی از حسگر DVS به فریم‌های قابل پردازش است. شمای کلی این روش در شکل ۲.۳ نشان داده شده. داده‌های حسگر DVS به صورت جریان اسپایک می‌باشد. به عبارت دیگر، داده‌های این حسگر به صورت پکت‌های متوالی هستند که هر کدام شامل اطلاعات اسپایک هستند. مهم‌ترین اطلاعاتی که برای ما مهم است، مختصات اسپایک (x) و y اسپایک در مختصات تصویر) و جهت اسپایک است. عملکرد حسگر DVS به این صورت است که با تغییر شدت نوری هر نقطه ی حسگر، اسپایکی تولید می‌شود که شامل جهت این تغییرات (مثبت یا منفی) و مختصات آن است. بنابراین، در صورتی که تصویر ثابت باشد و تغییری نداشته باشد اسپایکی تولید نمی‌شود و به طبع تنها نقاطی از تصویر که تغییرات دارند اسپایک تولید می‌کنند.



نمودار ۲.۳: همانطور که مشاهده می‌شود، داده‌ی ورودی به صورت قطاری از بسته‌های اسپایک است که به طور پیوسته به سیستم تزریق می‌شوند. هر کدام از این بسته‌ها دارد مختصات و جهت اسپایک هستند. خروجی الگوریتم نیز مجموعه‌ای از تصاویر اسپایکی می‌باشند که مقدار هر درایه آن، صفر یا برابر با جهت اسپایک در آن نقطه است.

برای تبدیل جریان اسپایک به فریم از الگوریتم ۱ استفاده می‌کنیم. در این الگوریتم، فرض بر این است که جریان اسپایک‌ها از نظر زمانی مرتب هستند، اگر چه در عمل اینطور نیست. به طور کلی، روش کار این الگوریتم به این صورت است که، اسپایک‌ها را به ترتیب شروع به پردازش می‌کنیم. سپس با در نظر گرفتن ثابت frame-length مدت زمان هر فریم را تعیین می‌کنیم. سپس اسپایک‌ها را به بازه‌هایی به طول frame-length افراز می‌کنیم. برای این کار از الگوریتم ۱ استفاده می‌کنیم. در نتیجه متغیر frame-set

مجموعه ای است از افراز جریان اسپایک‌ها که هرکدام نشان دهنده ی اسپایک‌های هر فریم است.

Algorithm 1: تبدیل جریان اسپایک به تصویر مبتنی بر فریم

Result: مجموعه داده‌ی فریم بندی شده.

```

frameSet  $\leftarrow \emptyset$ ;
frameStartTime  $\leftarrow$  Time of first spike in system;
// Assuming spikes are sorted in time.
while There is spike to process do
    currentTime  $\leftarrow -frameStartTime$ ;
    while currentTime  $\leq$  frameStartTime + frameLength do
        spike  $\leftarrow$  getNextSpike();
        frameSet  $\leftarrow$  frameSet + {spike};
        currentTime  $\leftarrow$  spikeTimeStamp;
    end
    frameStartTime  $\leftarrow$  currentTime;
end
end

```

در قدم بعدی، هر کدام از این افرازاها را به فریم تبدیل می‌کنیم. برای این کار، یک فریم خالی (ماتریس صفر به ابعاد تصویر) در نظر می‌گیریم. سپس کافیت اسپایک‌ها را پردازش کنیم و مقدار نقاط فریم را که در آنها اسپایک رخ داده را افزایش یا کاهش دهیم.

برای فریم بندی داده‌ها دو پارامتر مهم وجود دارد: تعداد فریم‌ها و طول فریم‌ها. طول فریم‌ها که در الگوریتم قبلی توضیح داده شد. این پارامتر بیانگر مدت زمانی است که صبر می‌کنیم تا اسپایک‌های تصویر برسد و آن را وارد فریم می‌کنیم. پارامتر دوم، تعداد فریم‌ها است. این پارامتر بیانگر تعداد فریم‌هایی است که داده ی مجموعه دارد.

نکته ی مهم در بریدن جریان اسپایک‌ها توجه به برچسب زمانی داده‌ها است. در این مجموعه داده‌ها برچسب داده‌ها به صورت جدولی از شروع و پایان هر ژست در فایل ذخیره شده است. برای بریدن داده‌ها، باید طوری عمل کنیم که در یک افراز از داده، دو ژست مختلف وجود نداشته باشد. برای حل این مشکل، در مرحله ی تولید افراز، هنگامی که اسپایک‌ها را بررسی می‌کنیم و به هم می‌چسبانیم، به زمان که اسپایک رخ داده توجه می‌کنیم. با توجه به زمان رخ داد اسپایک می‌توان برچسب آن را تعیین کرد. در صورتی که برچسب اسپایک مورد بررسی، برابر با برچسب اولین اسپایک افراز باشد، به این معنی است که هر دو اسپایک به یک ژست تعلق دارند. بنابراین هر دو را به افراز اضافه می‌کنیم، و در صورتی که برچسب آنها متفاوت باشد تمام اسپایک‌های افراز را صرف نظر کرده و شروع به تولید افراز جدید می‌کنیم. دلیل این امر هم این است که طول این افراز کمتر از مقدار مورد نظر خواهد بود، و نمی‌توان از آن در مجموعه داده استفاده کرد.

قدم بعدی که یکی از مهم ترین قدم‌ها بعد از پیش پردازش داده است، این است که پس از فریم بندی داده‌ها آنها را در فایل‌هایی در قالب فایل numpy ذخیره می‌کنیم. دلیل این کار این است که این قسمت

از پیش پردازش، بسیار زمانبر تر است و نیازی به انجام آن در هر مرحله نیست. در این پایان نامه داده‌ها با طول‌های ۲۰، ۸۰ و ۱۲۰ فریم بررسی شده است که طول فریم هر کدام حدود ۵۰ میکرو ثانیه است.

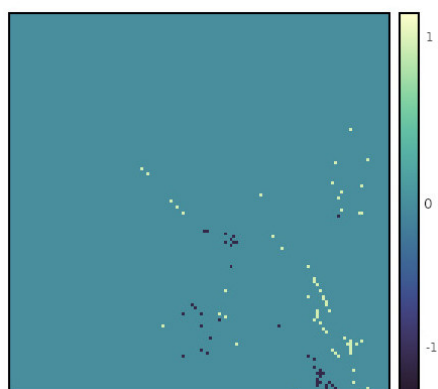
قطبیت یا جهت تغییرات هر اسپایک می‌تواند مثبت یا منفی باشد. ولی اسپایک‌های بیولوژیکی فقط مثبت هستند، و به طبع آن در مدل ما هم تنها اسپایک‌های مثبت تولید می‌شود. لذا تعریف دقیق تری از ورودی‌های شبکه نیاز داریم داشته باشیم. می‌توانیم از قطبیت ورودی‌ها صرف نظر کنیم و یا تعبیری برای ورودی‌های منفی داشته باشیم. در این پایان نامه چهار روش پیاده سازی برای این موضوع پیشنهاد می‌دهیم:

۱- صرف نظر کردن از قطبیت اسپایک‌ها: ساده ترین روش برای پردازش اسپایک‌ها صرف نظر کردن از قطبیت آنهاست. به عبارت دیگر برای شبکه فقط مهم است که در نقطه ی مورد نظر فقط تغییرات وجود داشته باشد و جهت تغییرات مهم نیست. پردازش به این روش را می‌توان معادل پردازش لبه‌های تصویر در نظر گرفت. در این گونه پردازش گرادیان جهت لبه‌ها اهمیتی ندارند و تنها خود لبه‌ها ارزش دارند. برای پیاده سازی این روش از قطبیت اسپایک‌ها صرف نظر می‌کنیم و در هر نقطه از تصویر که اسپایکی در آن وجود دارد مقدار ۱ و سایر نقاط را ۰ در نظر می‌گیریم.

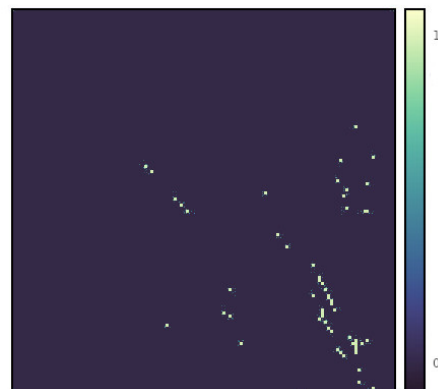
۲- روش تک لایه: در این روش همانند روش قبلی، صفحه ی فریم را به صورت صفر در نظر می‌گیریم و اسپایک‌ها را روی آن قرار می‌دهیم. تنها تفاوت این روش در این است که مقدار اسپایک‌ها را مقدار قطبیت آنها قرار می‌دهیم. یعنی، اسپایک‌های مثبت را مثبت یک و اسپایک‌های منفی را، منفی یک قرار می‌دهیم. این روش از نظر تعداد و حجم داده ی ورودی با روش قبلی تفاوتی ندارد و تنها تفاوت قابلیت منفی بودن این اسپایک‌ها است. نکته ای که باعث می‌شود این روش، روش مطلوبی برای فریم بندی جریان اسپایک‌ها نباشد این است که در این روش اسپایک‌های منفی داریم که در دنیای واقعی و در نورون‌های بیولوژیکی وجود ندارد. بنابراین مدل را، از شبیه بودن به نورون‌های مغزی دور می‌کند.

۳- روش دو لایه: همانند روش اول، در این روش هم تمام اسپایک‌ها مقدار مثبت یک دارند و تمام نقاط دیگر مقدار صفر دارند. تنها تفاوت این روش این است که در آن دو لایه مجزا در نظر گرفته می‌شود. لایه اول برای اسپایک‌ها با قطبیت مثبت و لایه دوم برای اسپایک‌ها با قطبیت منفی است. دلیل این کار این است که اسپایک‌ها از نظر قطبیت از هم جدا می‌شوند، از طرفی در سیستم اسپایک با مقدار منفی یک نخواهیم داشت. و همچنین در این روش حجم داده‌های ورودی دو برابر می‌شود.

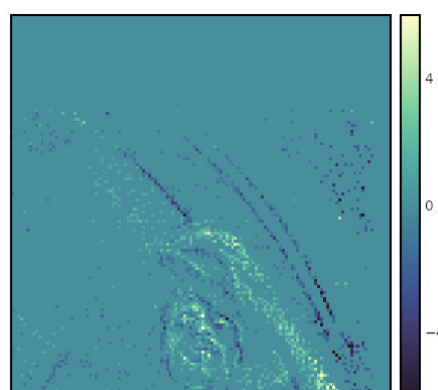
۴- روش جمع کردن اسپایک‌ها: مشکل تمام روش‌های فوق این است که تعداد اسپایک‌های یک نقطه را در نظر نمی‌گیرد و فقط وجود و عدم وجود اسپایک را بررسی می‌کند. برای مثال اگر در یک نقطه بیش از یک اسپایک وجود داشته باشد از اسپایک‌های دوم به بعد صرف نظر می‌شود. به همین دلیل حجم زیادی از اطلاعات در این مرحله از بین می‌رود. برای حل این مشکل فریم را طوری در نظر می‌گیریم که به جای نشان دادن اسپایک‌ها، انتگرال اسپایک در طول بازه ی زمانی فریم را نشان دهد. بدین شکل دیگر مقادیر فریم، صفر و یک نیستند و می‌توانند مقدارهای حقیقی مثبت یا منفی داشته باشند. از طرفی این روش در شبیه سازی‌های کامپیوتری به مدل واقعی اسپایکی شبیه تر است.



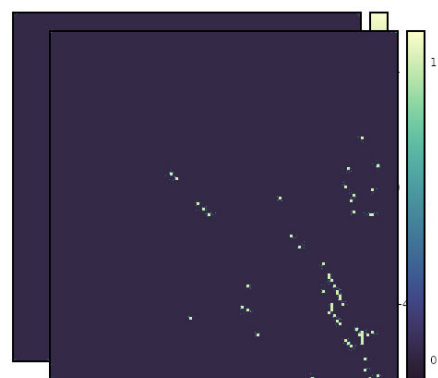
(ب) روش تک لایه



(آ) روش صرف نظر از جهت اسپایک



(د) روش جمع اسپایک



(ج) روش دولایه

نمودار ۳.۳: تصویرهایی از یک فریم زمانی بریده شده، در روش‌های مختلف فریم بندی را نشان داده است. شکل ۳.۳آ روش صرف نظر از قطبیت را نشان می‌دهد. شکل ۳.۳ب روش تک لایه را نشان می‌دهد. شکل ۳.۳ج روش دو لایه را نشان می‌دهد. و شکل ۳.۳د روش جمع اسپایک‌ها را نشان می‌دهد. همانطور که مشاهده می‌شود در روش جمع اسپایک‌ها، شکل ملموس تری تشکیل می‌شود.

۳.۱.۳ تقویت و اضافه کردن داده

قدم بعدی در پیش پردازش داده‌ها، تولید و اضافه کردن داده‌های جدید بر اساس داده‌های موجود به مجموعه داده و تقویت آن است. اگر چه این قدم اختیاری است، ولی انجام این کار باعث تقویت مجموعه داده خواهد شد. به عبارت دیگر با انجام این کار تعداد داده‌های قابل آموزش در مجموعه افزایش پیدا می‌کند و به سبب آن می‌توان شبکه را بهتر آموزش داد و به نتایج بهتری دست یافت.

برای تولید داده‌های تصویری روش‌های گوناگونی وجود دارد که نمی‌توان همه ی آنها را در تصاویر اسپایکی به کار برد. برای مثال در تصاویر مبتنی بر پیکسل می‌توان از تغییر رنگ، بریدن یا تغییر اندازه‌ی تصویر و... استفاده کرد. ولی از این روش‌ها در تصاویر اسپایکی نمی‌توان استفاده کرد. برای مثال بریدن تصویر در فریم اسپایکی امکان پذیر نیست چرا که نمی‌توان فریم بریده شده را تغییراندازه داد.

روشی که ما برای تقویت مجموعه داده استفاده کردیم صرفاً جابه جایی تصویر است. به عبارت دیگر مختصات هر مجموعه تصویر با نویز تصادفی جمع می‌شود که در طول زمان آن داده تغییر نمی‌کند. این کار مانند این است که سوژه ی مورد نظر کمی جابه جایی داشته باشد. بنابراین در این روش توزیع اسپایک‌ها تغییر نمی‌کند. و تنها شکل فریم تغییر می‌کند و می‌توان گفت داده ی جدید تولید کرده ایم.

قدم نهایی در مرحله ی پیش پردازش داده‌ها، تقسیم آنها به داده‌های آموزش و تست است. که در این قسمت مجموعه فریم‌های بدست آمده را، به صورت تصادفی به دو قسمت آموزش و تست تقسیم کردیم. تنها نکته ی مهم در این قسمت این است که در مجموعه‌های تست که مبنای محاسبه ی دقت سیستم و سایر متریک‌های آن این است که هیچ گونه روش تقویت و اضافه کردن استفاده نشده است. چرا که این داده‌ها نباید نویز تصادفی داشته باشند تا بتوان نتیجه قابل تولید مجدد داشت.

۲.۳ معماری شبکه

در این قسمت به بررسی لایه‌ها و تکنیک‌های استفاده شده در معماری شبکه می‌پردازیم. این تکنیک‌ها شامل لایه‌های مختلف پیاده سازی شده در شبکه و همچنین تکنیک‌هایی برای بهبود کارکرد شبکه است. اما قبل از آن به نکته‌ی قابل تامل باید اشاره کرد. یکی از اهداف ما در مورد استفاده از شبکه‌های عصبی اسپایکی، نزدیک تر شدن به ساختار بیولوژیکی مغز است. همان طور که می‌دانیم، معماری‌هایی همچون لایه‌های کامل و لایه‌های کانولوشنال، با نظم خاصی چیده شده‌اند. این در حالی است که شبکه‌های عصبی بیولوژیکی دارای ساختار پیچیده و در هم تنیده‌ای هستند که به صورت تکاملی پدید آمده‌اند. به دلیل همین پیچیدگی، شبیه سازی این ساختارها در GPU، بسیار دشوار است، و توان پردازشی بسیار بالایی نیاز دارد. در حالی که ساختارهای منظم، دارای پیاده سازی ساده‌تری هستند و از سرعت پردازش بالاتری نیز برخوردارند. همچنین، به دلیل ساختار ساده‌تر، آموزش این شبکه‌ها هم ساده‌تر است، چرا که سیگنال‌های آموزشی در این شبکه‌ها دارای مدل ریاضی ساده‌تری هستند. به همین منظور، در این پایان نامه، و در اغلب تحقیق‌ها و مقالات مشابه نیز از همین ساختارها استفاده شده است.

۱.۲.۳ لایه کامل

اولین و مهمترین لایه در شبکه‌های عصبی لایه کامل است. همانطور که می‌دانیم این لایه از اتصال تمام نورون‌ها به تمام نورون‌های لایه قبلی یا به طور دقیق تر از اتصال کامل تمام سیناپس‌ها به تمام ورودی‌ها تشکیل می‌شود. نحوه ی کارکرد این لایه در الگوریتم a نشان داده شده است.

Algorithm 2: پردازش لایه‌های کامل اسپایکی

```
// this has the shape of (batch, nb-frames, input-shape)
x ← inputSpikes;
y ← 0;
syn ← 0;
mem ← 0;
spk ← 0;
for i = 0 to Number Of Frames do
    h ← x[i].W;
    rst ← spk;
    syn ← alpha * syn + h;
    mem ← beta * mem + syn - rst;
    spk ← heavySide(mem);
    y[i] = spk;
end
return y;
```

این الگوریتم به ازای هر داده اجرا می‌شود و نورون‌های لایه جاری را شبیه سازی می‌کند. لازم به ذکر است که همان طور که قبل تر گفته شد، برای سادگی و سرعت شبیه سازی شبکه، آن را به صورت لایه به لایه انجام می‌دهیم. بنابراین، از اولین لایه شروع به شبیه سازی می‌کنیم و پس از این که لایه را برای تمام زمان‌ها اجرا کردیم به لایه بعدی می‌رویم. بنابراین، در این لایه، مقدار ورودی، یا همان x دارای یک بعد زمان هم است. که برای پردازش لایه در این بعد پیمایش می‌کنیم. همانطور که قابل مشاهده است، متغیر i در بعد زمان پیمایش می‌کند تا لایه را شبیه سازی کند.

سپس ورودی لحظه ی i در وزن‌های شبکه ضرب می‌شود و مقدار جریان ورودی را تشکیل می‌دهد که در متغیر h قرار دارد. h در واقع همان متغیر مشاهده شده در شبکه‌های عصبی مصنوعی می‌باشد. در قدم بعدی مقدار جریان ورودی به نورون محاسبه می‌شود. این مقدار در متغیر syn ذخیره می‌شود. سپس پتانسیل داخلی نورون که mem نام دارد محاسبه می‌شود. این مقدار با استفاده از syn افزایش و با استفاده از rst کاهش پیدا می‌کند. همچنین ضریب $beta$ در طول زمان کاهش می‌ابد. نهایتاً این مقدار با استفاده از تابع $heavy-side$ فیلتر می‌شود و مقادیر بزرگتر از یک منجر به اسپایک می‌شوند.

البته دو مکانیز دیگر، نرمال کردن وزن‌ها و عدم استفاده از وزن ضریب جریان باعث تغییری در الگوریتم فوق می‌شود که در ادامه به آنها می‌پردازیم.

۲.۲.۳ لایه کانولوشن

پیاده سازی نوروهای این لایه همانند نوروهای لایه کامل است و تنها تفاوت در نحوه ی دریافت ورودی آنها است. به عبارت دیگر می توان گفت نحوه ی کارکرد مکانیزم پتانسیل و اسپایک زدن نوروها در این لایه کاملاً مشابه با لایه کامل است. چرا که هر دو از نوروهای تجمیه-آتش با نشتی استفاده می کنند. تنها تفاوت این دو لایه در نحوه ی پردازش ورودی می باشد که این قسمت با سایر شبکه های عصبی مصنوعی تفاوتی ندارد.

در این قسمت، ابتدا وزن های هسته را تشکیل می دهیم، سپس آنها را بر روی دیتای ورودی می لغزانیم تا داده ی دیده شده یا همان h بدست بیاید. تنها نکته ی قابل تامل این لایه ها در ورودی آنهاست. بر خلاف لایه های کامل که انتظار ورودی به شکل [تعداد داده ورودی، زمان شبیه سازی، اندازه دسته] ورودی را به صورت [عرض تصویر، طول تصویر، زمان شبه سازی، کانال های تصویر، اندازه دسته]^۳ دریافت می کنند.

در این پروژه این لایه ها در قالب های یک، دو و سه بعدی پیاده سازی شده اند. البته لایه های یک بعدی در این مسئله کاربردی ندارد. همچنین پس از انجام آزمایش به این نتیجه رسیدیم که مناسب ترین نوع پردازش برای این مسئله، پردازش آن در سه بعد است. با این تفاوت که طول کرنل استفاده شده در بعد زمان (بعد سوم) یک است. دلیل استفاده از لایه های سه بعدی امر سرعت بیشتر پردازش آن و همچنین قابلیت پردازش در بعد زمان در صورت نیاز است.

۳.۲.۳ لایه های Max-Pooling و Avg-Pooling

در ادامه ی لایه های کانولوشن، لایه های پولینگ نیز پیاده سازی شده اند. این لایه ها، با استفاده از ابزارهای pytorch پیاده سازی شده اند و نیازی به تغییر دیگری ندارند. این لایه ها هیچ گونه پارامتر قابل آموزش ندارند. لایه ی Max-Pooling دارای خروجی اسپایکی است و در بازه ی پردازشی نورو، در صورت دیدن هر ورودی دارای اسپایک، خود نیز اسپایک تولید می کند. ولی لایه ی Avg-Pooling خاصیت اسپایکی خود را از دست می دهد، چرا که داده ها را از حالت صفر-یک خارج کرده و به صورت عدد حقیقی مقدار دهی می کند. به همین دلیل ما در شبکه های خود از این لایه استفاده نکردیم و پیاده سازی آن صرفاً جهت بررسی و آزمایش بوده است.

۴.۲.۳ عدم استفاده از ضریب جریان سیناپس (α)

پس از انجام آزمایش های متعدد، به این نتیجه رسیدیم که برای ساده تر شدن مدل شبکه و همچنین برای سریع تر شدن آن، از وزن های سیناپس یا همان α استفاده نکنیم. بینش پس این تصمیم این است که، شبکه با استفاده از پارامتر β می تواند وزن های خود را بهینه کند و در واقع نرم کردن جریان ورودی،

^۳ این ترتیب مناسب برای لایه های کانولوشن سه بعدی می باشد.

مزیت افزوده ای برای نورون نخواهد داشت. به همین دلیل دو خط ۹ و ۱۰ الگوریتم ۲ را که قبل تر به آن اشاره کردیم را می توان به صورت زیر بازنویسی کرد:

Algorithm 3: پردازش لایه ی کامل بدون ثابت سیناپسی

```

 $x \leftarrow inputSpikes;$ 
 $y \leftarrow 0;$ 
 $syn \leftarrow 0;$ 
 $mem \leftarrow 0;$ 
 $spk \leftarrow 0;$ 
for  $i = 0$  to  $Number\ of\ Frames$  do
     $h \leftarrow x[i].W;$ 
     $rst \leftarrow spk;$ 
     $mem = (mem - rst) * beta + h * (1 - beta);$ 
     $spk \leftarrow heavySide(mem);$ 
     $y[i] = spk;$ 
end
return  $y;$ 

```

بدین ترتیب دیگر نیازی به متغیر syn نخواهیم داشت و مقدار h به صورت مستقیم در mem تاثیر گذار خواهد بود. تنها نکته آن این است که مقدار h با استفاده از ضریب $1 - \beta$ کنترل می شود تا مقدار mem از یک تجاوز نکند.

۵.۲.۳ نرمال کردن اسپایک های خروجی

یکی از تکنیک هایی که موجب آموزش بهتر شبکه های عصبی می شود، استفاده از لایه های نرمال سازی دسته ای یا Batch-Norm است. استفاده از لایه در شبکه های عصبی مصنوعی باعث می شود دقت آموزش شبکه افزایش چشمگیری پیدا کند. دلیل این امر این است که داده های ورودی پس از شکسته شدن به دسته های کوچکتر توزیع متفاوت تری نسبت به داده ی اولیه پیدا می کنند. گاهی این توزیع می تواند به قدری متفاوت باشد که آموزش شبکه را دچار مشکل کند. همچنین در لایه های بالاتر، شبکه خروجی لایه ها می تواند خیلی متفاوت باشد که باعث کم شدن یا زیاد شدن بیش از حد سیگنال آموزشی شود که این امر باعث عدم آموزش شبکه می شود. استفاده از لایه های نرمال سازی، باعث می شود خروجی هر لایه در بازه ی نرمال قابل انتظاری قرار بگیرد و در نتیجه لایه بعدی می تواند به راحتی و با دقت بیشتری آموزش پیدا کند.

روش متداول نرمال سازی یا استفاده از لایه های Batch-Norm، بر روی شبکه های عصبی اسپایکی به خودی خود قابل اجرا نیست. چرا که این لایه ها مقادیر خروجی خود را به صورت پیوسته و حقیقی تولید می کنند. به عبارت دیگر عمل نرمال سازی متغیرهای اسپایکی را به متغیرهای حقیقی تبدیل می کند.

برای حل این مسئله، عمل نرمال سازی را، درون نورون پیاده سازی کرده ایم. پیاده سازی این روش در الگوریتم ۲ قابل مشاهده است. این الگوریتم همانند الگوریتم ۴ است و تنها تفاوت آن در محاسبه ی مقدار آستانه یا همان $mthr$ است. این مقدار یک مقدار نرمال شده از پتانسیل نورون است. و در این الگوریتم، به جای محاسبه ی اسپایک ها از مقدار پتانسیل، اسپایک از مقدار نرمال شده ی $mthr$ محاسبه می گردند.

Algorithm 4: دسته ای ساز-نرمال-همراه با نرمال-ساز-دسته ای

```

norm := ||w||2;
x ← inputSpikes;
y ← 0;
syn ← 0;
mem ← 0;
spk ← 0;
for i = 0 to Number of Frames do
    h ← x[i].W;
    rst ← spk * b * norm;
    syn ← alpha * syn + h;
    mem ← beta * mem + syn - rst;
    mthr ← mem/norm + b;
    spk ← heavySide(mthr);
    y[i] = spk;
end
return y;
```

در این الگوریتم علاوه بر وزن های آموزشی w ، و β یک متغیر دیگر نیز آموزش پیدا می کند که متغیر نرمال سازی یا همان b نام دارد که بین صفر و یک می تواند تغییر کند. در این الگوریتم ترم ریست، rst ، به جای این که مستقیم با مقدار اسپایک های سیکل گذشته جایگزین شود، در b و نرمال دوم وزن ها ضرب می شود. بنابراین مقدار نرم تری نسبت به گذشته پیدا می کند، و بر اساس این که در سیکل گذشته تعداد اسپایک ها کم بوده یا زیاد، مقدار پتانسیل این سیکل لایه، کنترل می شود و در نتیجه می توان گفت، همواره پتانسیل نورون ها در رنج های معقولی قرار خواهند داشت.

۶.۲.۳ وزن های اولیه

تعیین وزن های اولیه در شبکه های اسپایکی از اهمیت بسیار زیادی برخوردار است و عدم تعیین درست آنها می تواند سبب کاهش دقت شبکه یا حتی آموزش ناپذیر شدن آن شود. دلیل این مسئله این است که خطای آموزش محاسبه شده در این شبکه ها با استفاده از اسپایک های خروجی شبکه محاسبه می گردد. و در صورتی که وزن سیناپس های نورون کم باشد ممکن است نورون هیچ اسپایکی تولید نکند و در این

صورت هیچ سیگنال آموزشی تولید نمی‌شود و شبکه نمی‌تواند برای تصحیح وزن‌های خود کاری کند. همچنین در صورتی که بازه ی تصادفی وزن‌ها بزرگ باشد، باعث می‌شود تا نوروتهایی با پتانسیل کمتر در عمل نرمال کردن محو شوند و آموزش پیدا نکنند.

در آزمایش‌ها و پیاده سازی‌های انجام شده به این نتیجه رسیدیم که وزن‌ها می‌بایست میانگین صفر داشته باشند و انحراف معیار بین 0.001 تا 0.01 برای لایه‌های کانولوشنال و مقدار 0.4 تا 0.6 برای لایه‌های کامل که بهترین نتیجه را تولید می‌کند و باعث می‌شود شبکه در زمان مناسب به بیشتر دقت آموزشی برسد. لازم به ذکر است که مقدار وزن‌های شبکه با استفاده از توزیع نرمال، مقدار دهی می‌شوند و مقدار انحراف از معیار این توزیع از معادله ۲.۳ و ۳.۳ برای لایه‌های کانولوشن، و ۴.۳ و ۵.۳ برای لایه‌های کامل بدست می‌آید. مقدار std در این معادله همان مقدار انحراف از معیار است که قبل تر توضیح داده شد.

$$std_w = std. \sqrt{\frac{1}{c. \prod k_i}} \quad (۲.۳)$$

$$std_v = std. \sqrt{\frac{1}{c}} \quad (۳.۳)$$

در این معادله std_w انحراف از معیار نرمال مربوط به وزن‌های شبکه (وزن‌های کانولوشنال)، و std_v مربوط به وزن‌های بازگشتی (در صورت وجود) است. مقدار c تعداد کانال‌های خروجی لایه است و مقدار k_i اندازه ی کرنل در بعد i ام را نشان می‌دهد.

$$std_w = std. \sqrt{\frac{1}{L^{i-1}}} \quad (۴.۳)$$

$$std_v = std. \sqrt{\frac{1}{L}} \quad (۵.۳)$$

در این معادله، L تعداد نوروتهای لایه فعلی یا به عبارت دیگر تعداد خروجی‌های لایه را مشخص می‌کند. و مقدار L^{i-1} تعداد نوروتهای لایه قبل یا همان تعداد ورودی‌های لایه را مشخص می‌کند.

۷.۲.۳ لایه Dropout

یکی دیگر از ایده‌های بهینه کردن شبکه و افزایش کارکرد آن، اضافه کردن لایه‌های حذف-کننده-تصادفی یا Dropout است. ایده اصلی لایه‌های Dropout، این است که در مرحله آموزش نوروتهای صورت تصادفی از عمل بازگشت خطا و بهینه شدن حذف می‌شود و این کار باعث افزایش دقت شبکه می‌شود. تعبیر این کار این است، که با این کار در واقع تعداد زیادی شبکه ی عصبی مختلف و موازی را همزمان در شبکه خواهیم داشت که با هم کار می‌کنند. ما در پیاده سازی خود از لایه‌های Dropout موجود در کتابخانه‌های استاندارد یادگیری ماشین استفاده کرده ایم.

۸.۲.۳ اتصالات جانبی

ایده ی استفاده از اتصالات جانبی، ایده ی تازه ای نیست، و در گذشته شبکه‌هایی ارایه شده‌اند که از این اتصالات بهره مند شده‌اند. به طور کلی این اتصالات می‌تواند کمک کند تا شبکه بتواند با لایه‌های کمتری نتایج مشابهی را تولید کند و قدرت مشابهی داشته باشد. اتصالات جانبی، اتصالاتی است مابین نورون‌های هر یک لایه، در نتیجه معادله ی جریان ورودی نورون به صورت معادله ی ۶.۳ تغییر پیدا می‌کند.

$$a_i^m = \sum_j W_{ij}^{m-1} z_j^{m-1} + \sum_{k \neq i} V_{ik}^m z_k^m \quad (6.3)$$

در این معادله، W وزن‌های شبکه و V وزن‌های بین نورون‌ها یا همان وزن‌های جانبی است. همچنین برای پیاده سازی این اتصالات در الگوریتم نورون، می‌بایست الگوریتم را به شکل زیر تغییر داد. ابتدا متغیر d را به صورت زیر در نظر می‌گیریم:

$$d = W.W^T \quad (7.3)$$

سپس برای محاسبه ی مقدار rst مقدار اسپایک‌های سیکل قبلی را در d ضرب می‌کنیم.

۹.۲.۳ اتصالات بازگشتی

اتصالات بازگشتی به ما اجازه می‌دهند تا شبکه‌هایی با معماری بازگشتی را پیاده سازی کنیم. صرف نظر از نوع لایه، در تمامی نورون‌ها قابلیت اتصالات بازگشتی پیاده سازی شده است بنابراین می‌توان این معماری را با لایه‌های کامل و لایه‌های کانولوشنال همزمان پیاده سازی کرد. پیاده سازی این لایه‌ها به این صورت است که در هر سیکل پردازش نورون، اسپایک‌های لایه را در سیکل زمانی قبلی در نظر می‌گیریم، و آن را در ورودی زمان حال نورون جمع می‌کنیم. برای درک این موضوع معادله ۸.۳ را در نظر می‌گیریم.

$$h(t) = I(t) + S(t-1).V \quad (8.3)$$

در این معادله I ورودی نورون از لایه قبلی است، S اسپایک‌های خروجی نورون، V وزن‌های مربوط به روابط بازگشتی و h جریان ورودی به رابطه ی پتانسیل نورون می‌باشد.

۱۰.۲.۳ استفاده از مکانیزم Winner-Takes-All

یکی از مکانیزم‌های استفاده شده در لایه تصمیم گیری شبکه، مکانیزم winner-takes-all است. این مکانیزم به طور خلاصه به این صورت عمل می‌کند که در لایه تصمیم گیری، در صورتی که پتانسیل یک نورون به آستانه‌ی تحمل آن برسد و اسپایک تولید کند، پتانسیل نورون‌های مجاور آن نیز کاهش پیدا می‌کند. به عبارت دیگر نورونی که زودتر اسپایک تولید کند سیگنال آموزشی دریافت می‌کند. بنابراین نورون‌ها برای زودتر اسپایک زدن با هم رقابت می‌کنند. از طرف دیگر استفاده از این مکانیزم باعث کاهش کلی اسپایک‌های تولید و در نتیجه خلوت شدن خروجی این لایه می‌شود.

۳.۳ تصمیم گیری و محاسبه‌ی تابع خطا

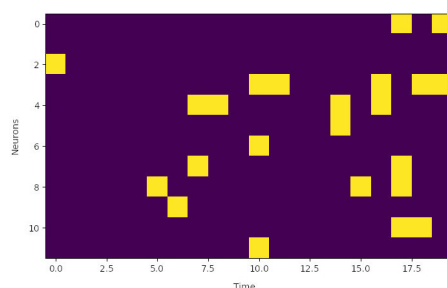
در این قسمت به بررسی ساختارهای پیاده سازی شده برای لایه تصمیم گیری و محاسبه خطا و همچنین برای بهینه سازی می‌پردازیم.

به طور کلی این شبکه را با دو دیدگاه پیاده سازی کردیم. دیدگاه اول این است که جریان داده را افزایش کنیم و به صورت مجموعه داده‌ای با برچسب با آن برخورد کنیم. و دیدگاه دوم این است که شبکه را بر روی جریان داده آموزش دهیم، همانند روش‌های آموزش تقویت شده. هر کدام از این روش‌ها مزیت و معایب خود را دارند. دیدگاه اول به نظر روش بسیار مناسبی برای پردازش جریان داده‌ها است، ولی در عوض مسائل دشواری را وارد سیستم می‌کند. شاید مهمترین مشکل این روش نحوه‌ی پیاده سازی روش‌های بازگشت خطا است، و همچنین عدم توانایی شبیه سازی نورون‌ها به صورت لایه لایه است که این امر باعث شد تا این روش بسیار کند شود و نهایتاً ما از دیدگاه دوم برای حل این مسئله استفاده کردیم.

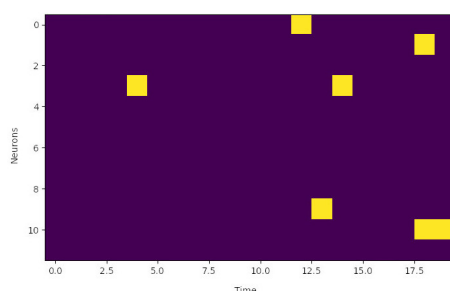
دیدگاه دوم روشی است که داده‌ها را به قسمت‌های مساوی افزایش می‌کنیم تا هر داده تعداد مشخصی فریم زمانی داشته باشد. این روش در واقع همان روشی است که در قسمت‌های قبل برای تهیه و آماده سازی داده‌ها توضیح داده شد. مزیت این روش ساده تر بودن آن برای شبیه سازی در GPU است. و در عمل در آزمایش‌های انجام شده این روش کارایی بهتری را از خود نشان داده است.

۱.۳.۳ تصمیم گیری در لایه خروجی

نکته‌ای که در محاسبه‌ی تابع هزینه وجود دارد این است که محاسبه‌ی خروجی و برداشت آن از شبکه بدیهی نیست. به بیان دیگر، در لایه‌ی آخر شبکه‌ی اسپایکی، یک لایه‌ی کامل می‌باشد که در آن مقادیر پتانسیل نورون‌های آن در طول زمان تغییر می‌کند. برای تعیین یک کلاس مشخص از مقادیر خروجی این نورون‌ها، روش‌های متعددی را می‌توان تعریف کرد. روش‌هایی که در این پایان نامه پیاده سازی شده‌اند عبارتند از:



(آ) روش تعداد اسپایک



(ب) روش زمان اولین اسپایک

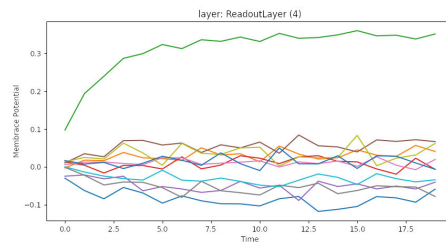
نمودار ۳.۴: در این نمودار فعالیت نورون‌های لایه‌ی آخر شبکه را مشاهده می‌کنیم. شکل بالا مربوط به حالتی است که شبکه بر اساس تعداد اسپایک‌های تولید کرده ارزیابی و آموزش داده شده است. شکل پایین مربوط به شبکه در حالتی است که بر اساس کلاس اولین اسپایک تولید شده آموزش دیده است.

روش‌های مبتنی بر اسپایک زدن

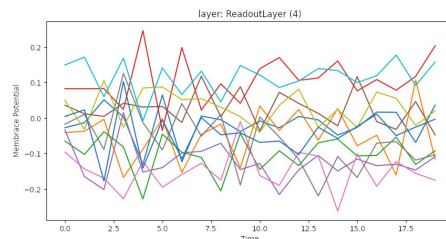
این روش‌ها خود شامل دو بخش می‌شوند. روش اول تعداد اسپایک و روش دوم زمان اولین اسپایک. در روش اول، کلاس خروجی کلاسی است که متعلق به نورونی است که بیشترین تعداد اسپایک را داشته و روش دوم، خروجی متعلق به نورونی است که اولین اسپایک را تولید کرده است. بعد از بررسی‌ها به این نتیجه رسیدیم که مشکل روش اول، تولید بسیار زیاد اسپایک است، که این امر سبب از بین رفتن بهینگی و دقت شبکه می‌شود. و روش دوم کارایی بهتری را نشان داده چرا که شبکه سعی می‌کند اسپایک‌های کمتری تولید کند. ولی از طرف دیگر، مشکل این روش این است که اسپایک‌ها با تاخیر بیشتری تولید می‌شوند. همین امر باعث کندتر شدن فرایند آموزش می‌شود.

روش‌های مبتنی بر پتانسیل

این روش‌ها بر این اساس بنا شده‌اند که نیازی به شمارش اسپایک‌های خروجی نداشته باشیم و با بررسی مقادیر پتانسیل نورون‌ها، کلاس خروجی را انتخاب کنیم. در این دسته نیز دو روش پیاده سازی شده است. روش اول، محاسبه‌ی میانگین پتانسیل نورون‌ها و انتخاب نورون با بیشترین میانگین و روش دوم، محاسبه‌ی بیشینه پتانسیل هر نورون (در طول مدت شبیه سازی شبکه بر روی داده) و انتخاب نورون با بیشترین بیشینه پتانسیل است. بین این دو روش نیز روش دوم، کارایی بهتری را نشان داده است چرا



(آ) روش بیشینه پتانسیل



(ب) روش میانگین پتانسیل

نمودار ۵.۳: در این نمودار پتانسیل نورون‌ها در طول زمان پس از آموزش دیدن نشان داده شده. شکل بالا نشان دهنده‌ی لایه خروجی با تصمیم گیرنده‌ی بیشینه است و شکل پایین نشان دهنده‌ی همین لایه با تصمیم گیرنده‌ی میانگین است. همانطور که مشاهده می‌شود، تصمیم گیرنده‌ی بیشینه فشار بیشتری برای پایین نگاه داشتن پتانسیل وارد میکند.

که این روش فشار بیشتری (خطای بیشتر) را بر روی سایر نورون‌ها وارد می‌کند تا در هیچ نقطه‌ای مقدار زیاد نداشته باشند، ولی در روش اول فقط کافی بود که سایر نورون‌ها در بیشتر نقاط، مقدار کمی داشته باشند و می‌توانستند گاهی مقدار بالا بگیرند.

۲.۳.۳ محاسبه‌ی تابع خطا

پس از مشخص شدن نوع خروجی، باید مقدار خطای شبکه را محاسبه کنیم. همانطور که قبل تر نیز گفته شد، قدم اول در این زمینه تعریف تابع خطا یا تابع هزینه است. از آنجایی که هدف ما در این پایان نامه تولید شبکه با قابلیت کلاس بندی است، تابع خطای احتمالی لگاریتمی منفی به عنوان تابع هزینه انتخاب شده است. در این تابع سعی می‌کنیم تا اختلاف مقدار خروجی را با مقدار مورد نظر که هر دو بین صفر و یک هستند را با شیب لگاریتمی در مقدار خطا وارد کنیم. این مقدار در معادله‌ی ۹.۳ نشان داده شده است.

$$L = -\frac{1}{n} \sum_x \sum_{k=1}^K y_k \log(a_k) \quad (9.3)$$

در این معادله x داده‌های ورودی است که مقدار تابع هزینه را روی آن محاسبه می‌کنیم. K تعداد کلاس‌های مسئله است و y_k مقدار مشخص شده برای کلاس k ام در مجموعه داده است. مقدار a نیز

بیانگر مقدار خروجی مدل است. لازم به ذکر است که مقدار y_k می‌تواند صفر یا یک باشد و مقدار a بین صفر تا یک می‌تواند مقدار بگیرد. بنابراین در این فرمول در واقع برای هر داده از مجموعه داده، تنها یک مقدار $\log(a_k)$ را محاسبه خواهیم کرد (مقدار متناظر با کلاس مربوطه) و سایر مقادیر در تابع هزینه لحاظ نمی‌شوند چرا که مقدار y_k آنها صفر است. در ادامه برای بهینه کردن وزن‌های شبکه از معادله‌ی ۱۰.۳ استفاده می‌کنیم.

$$W_{ij} \leftarrow W_{ij} - \eta \frac{\partial L}{\partial W_{ij}} \quad (10.3)$$

سپس برای وزن‌های لایه خروجی خواهیم داشت:

$$\frac{\partial L}{\partial W_{ij}} = \frac{\partial L}{\partial O_i} \frac{\partial O_i}{\partial V_i} \sum_t \frac{\partial V_i}{\partial U_i(t)} \frac{\partial U_i(t)}{\partial W_{ij}} = (O_i - 1) \sum_t \frac{\partial U_i(t)}{\partial W_{ij}} \quad (11.3)$$

که در این معادله برای محاسبه‌ی $\frac{\partial U_i(t)}{\partial W_{ij}}$ از معادله‌ی ۱۴.۳ تا ۱۶.۳ استفاده می‌کنیم. در لایه‌های بعدی خطای انتقال داده شده را با δ نشان می‌دهیم. بنابراین خواهیم داشت:

$$\frac{\partial U_i(t)}{\partial W_{ij}} = \sum_t \frac{\partial L}{\partial S_i(t)} \frac{\partial S_i(t)}{\partial W_{ij}} = \sum_t \delta_i^h \frac{\partial S_i(t)}{\partial W_{ij}} \quad (12.3)$$

$$\delta_i^o = (O_i - 1) \quad (13.3)$$

در معادله‌ی ۱۲.۳ برای محاسبه‌ی $\frac{\partial S_i}{\partial W_{ij}}$ می‌توانیم از معادله‌ی زیر استفاده کنیم.

$$\frac{\partial S_i(t)}{\partial W_{ij}} = \Theta'(U_i(t)) \frac{\partial U_i(t)}{\partial W_{ij}} \quad (14.3)$$

$$\frac{\partial U_i(t)}{\partial W_{ij}} = \beta \frac{\partial U_i(t-1)}{W_{ij}} + \frac{\partial I_i(t-1)}{W_{ij}} \quad (15.3)$$

$$\frac{\partial I_i(t)}{W_{ij}} = \alpha \frac{I_i(t-1)}{W_{ij}} + S_j[t-1] \quad (16.3)$$

تنها مقدار باقی مانده در این معادله مقدار $\Theta(U)$ است. همانطور که قبل تر گفته شد، مشتق تابع Θ قابل محاسبه نیست چرا که تابع ضربه در نقطه‌ی صفر ناپیوسته و در سایر نقاط مشتق صفر دارد. برای حل این موضوع می‌توان از روش گرادیان جایگزین ارائه شده در [۲۸] استفاده کرد.

۴.۳ پیاده سازی

همانطور که قبل تر نیز گفته شد، پیاده سازی این پایان نامه در زبان پایتون ۳ و در پلتفرم پایتورچ ۵ انجام شده. دلیل استفاده از پایتون وجود کتابخانه های فراوان در زمینه های علوم داده، پردازش داده و پردازش تصویر بوده و دلیل استفاده از پلتفرم پایتورچ بهره مندی از ابزارهای مربوط به شبکه های عصبی و یادگیری ماشین از جمله قابلیت های محاسبه ای اتوماتیک گرادینان توابع، ابزارهای بهینه سازهای مانند Adam است.

برای بررسی پیاده سازی، بهتر است نگاهی به ساختار فایل بندی پروژه کنیم. همانطور که در ۶.۳ قابل مشاهده است، پروژه دارای یک پوشه ی اصلی به نام scnn است که در آن فایل های مربوط به پیاده سازی شبکه وجود دارد. در کنار آن پوشه های navgesture و ibm-data قرار دارد که محل قرار گیری فایل های پیاده سازی رابط داده ها ۶ (رابط کاربری، مربوط به کار با مجموعه داده های متناظر آنها) قرار دارد. در پوشه ی tools نیز ابزارهای جانبی که مربوط به اجرای نرم افزار هستند قرار گرفته اند. نهایتاً دو پوشه ی logs و results نیز پس از اجرای شبکه تکمیل خواهند شد که حاوی فایل های خروجی شبکه هستند. فایل هایی نیز در پوشه ی اصلی پروژه قرار دارند که مهم ترین آنها main-code.py و main-code.ipynb هستند، که به ترتیب فایل اجرای پروژه در قالب پایتون و دفترچه ی ژوپیتیر ۷ هستند.

```

ibm_data
├── cache_generator.py
├── data_augmentor.py
├── __init__.py
├── reader.py
├── spikingjelly_adaptation.py
├── logs
│   └── run_1.log
├── navgesture
│   ├── __init__.py
│   └── read_td_events.py
├── results
│   └── network_1.net
├── scnn
│   ├── BatchSpike
│   │   ├── conv1d.py
│   │   ├── conv2d.py
│   │   ├── conv3d.py
│   │   ├── conv3d_synapse.py
│   │   ├── dense.py
│   │   ├── __init__.py
│   │   ├── legacy_dense.py
│   │   ├── network.py
│   │   ├── pool2d.py
│   │   ├── readin.py
│   │   └── readout.py
│   ├── StreamSpike
│   │   ├── conv1d_stream.py
│   │   ├── conv2d_stream.py
│   │   ├── dense_stream.py
│   │   ├── __init__.py
│   │   ├── network.py
│   │   ├── pool2d_stream.py
│   │   ├── readin_stream.py
│   │   └── readout_stream.py
│   ├── default_configs.py
│   ├── heavyside.py
│   ├── __init__.py
│   ├── network.py
│   ├── optm.py
│   └── snn.py
├── tools
│   ├── __init__.py
│   ├── notify.py
│   ├── time_expector.py
│   ├── main_code.ipynb
│   └── utils.py

```

نمودار ۶.۳: شمای پوشه ها و فایل های پروژه.

Python^۴
PyTorch^۵
Data Interface^۶
Jupyter Notebook^۷

در پوشه‌ی scnn دو زیر پوشه‌ی BatchSpike و StreamSpike قرار دارند که نمونه‌ی مشابهی از پیاده سازی شبکه‌ی اسپایکی هستند، با این تفاوت که BatchSpike برای پردازش به صورت دسته‌ای^۸ و دیگری برای پردازش به صورت پیوسته‌ی^۹ داده‌ها می باشد. پردازش دسته‌ای برای افزایش عملکرد شبکه مناسب‌تر است در حالی که پردازش پیوسته به مراتب شباهت بیشتری به ساختار مغزی دارد. همانطور که در بخش‌های گذشته گفته شد، در شبیه سازی بر روی GPU، پردازش دسته‌ای دارای بهره وری بالاتری است. به همین دلیل در این پایان نامه، برای این که بتوانیم از حداکثر توان پردازشی موجود استفاده نماییم، بر روی پردازش دسته‌ای تمرکز بیشتری کرده‌ایم. در ادامه خلاصه‌ای از کلاس‌های پیاده سازی شده در این پوشه‌ها را بررسی می نماییم.

معماری استفاده شده در این پیاده سازی، به گونه‌ای است که کاربر بتواند به سادگی شبکه‌های مختلف تولید کند و به سادگی بتواند لایه‌های شخصی سازی شده را نیز به شبکه‌ی خود اضافه کند. برای همین منظور، از یک کلاس پایه برای لایه‌ها به نام neuron-base استفاده شده است و تمامی لایه‌های پیاده سازی شده نیز از این کلاس ارث بری می‌کنند. در نتیجه هر کلاسی که از این کلاس ارث بری کرده باشد میتواند به شبکه اضافه شود. این کلاس انتزاعی، مدل پایه‌ای از یک لایه‌ای از نورون‌های اسپایکی است. یکی از مهمترین این پارامترهای این کلاس، تعداد نورون‌های ورودی و خروجی لایه، تعداد کانال‌های ورودی و خروجی آن (برای نورون‌های کانولوشنال) و نوع تابع اسپایک است. همچنین مکانیزم‌های Dropout، Weight-Decay و اتصالات بازگشتی هم به دلیل داشتن پیاده سازی یکسان برای انواع لایه‌ها، در این کلاس پیاده سازی شده‌اند.

برای پیاده سازی و اضافه کردن لایه‌ی جدید در شبکه تنها کافی است از کلاس neuron-base ارث بری کرده و توابع زیر را در لایه‌ی مورد نظر پیاده سازی شود. همچنین سه پارامتر IS-SPIKING، IS-CONV و HAS-PARAM نیز باید مقدار دهی و مشخص شوند. پارامتر اول نشان دهنده‌ی کانولوشنال بودن لایه است. به کمک این پارامتر، شبکه به صورت خودکار بین لایه‌های کانولوشنال و کامل داده‌ها را به یک بعد کاهش می‌دهد^{۱۰}. پارامتر دوم نشان دهنده‌ی اسپایکی بودن لایه است، و نهایتاً پارامتر آخر نشان دهنده‌ی این است که لایه نیاز به آموزش دارد یا خیر. بعد از مشخص کردن پارامترها کافی است توابع زیر را پیاده سازی کرده تا بتوانیم لایه را در شبکه بارگذاری کنیم:

- `__init__`: این تابع که تابع سازنده در زبان پایتون بوده و مربوط به ساختار دهی کلاس می باشد. در این تابع، باید تابع `__init__` از کلاس والد فراخوانی شود. پس از آن می‌توان از مقادیری ورودی کاربر و همچنین، مقادیر تعداد نورون‌ها و کانال‌ها استفاده کرد.
- `forward-function`: تابع اصلی مدل نورونی هر لایه است. این تابع در هر بار اجرای شبکه، برای هر لایه یک بار فراخوانی می‌شود. در این تابع باید معادلات مربوط به اجرا و پردازش نورون‌ها پیاده سازی شود.

^۸Batch Processing

^۹Stream Processing

^{۱۰}در کتابخانه‌های یادگیری ماشین مانند پایتوچ، این عملگر عموماً با نام Flatten شناخته می‌شود

- `train-able` این تابع لیستی از وزن‌های قابل آموزش را باز می‌گرداند تا کلاس `network` بتواند این پارامترها را شناسایی و آموزش دهد.
- `__str__` این تابع شمای لایه را به صورت نوشتاری باز می‌گرداند.
- `reset-parameters` این تابع وزن‌های لایه را با مقادیر تصادفی که مشخص شده مقدار دهی می‌کند.
- `draw` این تابع، برای رسم نمودارهای مربوط تحلیل شبکه و نورون‌ها فراخوانی می‌شود.

در مرحله‌ی بعد، دو لایه‌ی `readin` و `readout` قرار دارند. لایه‌ی `readin` نقش شکل دهی به داده‌های ورودی را دارد به طوری دارای پارامترهای مشابهی نسبت به سایر لایه‌ها باشند. لایه‌ی `readout` نقش تفسیر خروجی شبکه را دارد. نحوه‌ی عملکرد این لایه در فصل ۱.۳.۳ به طور مفصل توضیح داده شده.

کلاس‌های `dense` و `legacy-dense` هر دو پیاده سازی لایه‌ی کامل هستند و تنها تفاوت این دو در پیاده سازی است. استفاده از مکانیزم وزن‌های سیناپسی در لایه‌ی `dense` صرف نظر شده، چرا که در در آزمایش‌های انجام شده نشان دادیم که این مکانیزم تاثیر چندانی روی کارکرد شبکه نداشته است..

در این پیاده سازی از لایه‌های کانولوشنال یک، دو و سه بعدی استفاده شده است که هر کدام، از لایه‌ی قبلی خود ارث بری کرده‌اند. وجه تمایز این کلاس‌ها در تابع `forward-function` آنها است. اگرچه این تابع برای هر سه نوع به طور مشابهی عمل می‌کند، و تفاوت آنها در ضرب‌های ماتریسی آنها، و نوع عملگر کانولوشن آنهاست. در این کلاس‌ها برای عملگر کانولوشن، از توابع موجود در پایتورچ استفاده شده است. دلیل این امر یکسان بودن این عملگر بودن در شبکه‌های اسپایکی و شبکه‌های غیر اسپایکی است.

در این پوشه‌ی همه کلاس‌ها به استثنای کلاس `network`، مربوط به پیاده سازی لایه‌ها هستند. کلاس `network` که از ماژول `torch.nn.Module` واقع در پایتورچ ارث بری کرده است، وظیفه‌ی ذخیره و نگهداری لایه‌های شبکه و فراخوانی توابع آنها در صورت لزوم را دارد. توابع کمکی به همین منظور پیاده سازی شده‌اند. به عنوان مثال تابع `predict` که به ترتیب تمامی لایه‌های شبکه را اجرا میکند و خروجی لایه‌ی آخر را باز می‌گرداند. یکی دیگر از وظایف مهم این کلاس، پیاده سازی تابع `fit` است. فراخوانی این تابع منجر به آموزش شبکه می‌شود. این تابع در ابتدا تنظیمات مورد نیاز برای آموزش شبکه را انجام داده، سپس به تعداد اپیک مورد نیاز عمل آموزش لایه‌ها را تکرار می‌کند.

پیاده سازی روش گرادیان جایگزین، در کلاس `heavyside` انجام شده، برای این کار تابع پله (تابع ضربه) را با ارث بری از کلاس `autograd` یا همان گرادیان خودکار، موجود در کتابخانه‌ی پایتورچ پیاده سازی کردیم. این کلاس همانند یک تابع اسپایک سخت کار می‌کند، با این تفاوت که در هنگام فراخوانی، مقادیر ورودی را ذخیره کرده و نورون‌هایی که اسپایک تولید کرده‌اند را در حافظه نگاه می‌دارد. سپس با باز نویسی تابع مشتق (در اینجا تابع `backward`) مشتق مقادیر لایه را با استفاده از اسپایک‌هایی که در طول زمان‌های گذشته تولید شده‌اند محاسبه می‌کند.

آخرین کلاس از مجموعه‌ی اصلی کد، کلاس SNN می‌باشد. این کلاس رابط کاربری شبکه محسوب گردیده و نقطه‌ای است که در آن کاربر با شبکه در تعامل است. این کلاس شامل توابعی برای اضافه کردن لایه‌های مختلف و ساختن شبکه، توابعی برای ذخیره سازی و بازیابی شبکه‌ها از حافظه، و همچنین توابعی برای رسم نمودارهای مورد نیاز برای تحلیل شبکه است. در عمل این کلاس، پوششی برای کلاس Network است.

در کنار پوشه‌ی scnn دو پوشه‌ی دیگر برای کار با مجموعه داده‌ها وجود دارد، پوشه‌ی ibm-data و پوشه‌ی navgesture. پوشه‌ی اول برای کار با مجموعه داده‌ی IBM-DVSGesture و پوشه‌ی navgesture برای کار با مجموعه داده‌ی NavGesture است. لازم به ذکر است که هر دوی این پوشه‌ها حاوی تابع یکسانی به نام load-all واقع در فایل __init__.py هستند که دارای ورودی و خروجی یکسانی است. بنابراین کاربر بدون نیاز به دانستن نحوه‌ی کارکردن این ماژول‌ها می‌تواند از آنها استفاده کند. هر دو ماژول وظیفه‌ی خواندن داده‌ها از دیسک، پیش پردازش آنها و بارگذاری آنها در حافظه‌ی رم برای استفاده‌ی شبکه را دارد. ماژول ibm-data دارای دو پیاده سازی: پیاده سازی بر مبنای کتابخانه‌ی SpikingJelly و پیاده سازی بومی. پیاده سازی SpikingJelly مربوط به روش ۲.۱.۳ بوده و پیاده سازی بومی مربوط به سه روش دیگر است.

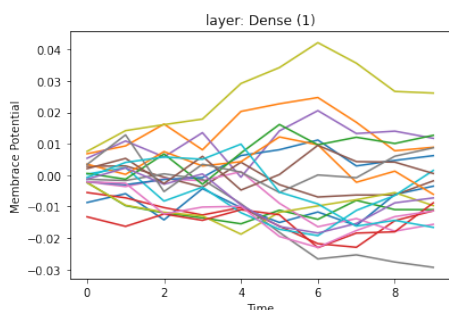
۵.۳ نتایج

در قدم اول به بررسی نورون‌های شبکه می‌پردازیم و اطمینان حاصل می‌کنیم که شبکه به درستی کار می‌کند. برای این کار، ابتدا یک شبکه کوچک، متشکل از دو لایه، که لایه اول شامل ۲۰ نورون اسپایکی و لایه دوم نیز لایه تصمیم گیرنده که شامل دو نورون است را تشکیل می‌دهیم. در این مثال، ورودی به صورت مجموعه داده‌ی کوچکی از تصاویر مبتنی بر فریم اسپایکی می‌باشند که هر کدام شامل ۱۰ فریم هستند. و تصاویر این مجموعه به دو دسته‌ی اسپایک‌های روی قطر اصلی و اسپایک‌های روی قطر فرعی تصویر تقسیم بندی می‌شوند. فعالیت نورون‌های لایه اول و دوم این شبکه، قبل و بعد از آموزش دیدن در شکل ۷.۳ مشاهده می‌شود. همانطور که مشاهده می‌شود، این شبکه پس از آموزش دیدن به سادگی می‌تواند این تصاویر را تفکیک کند.

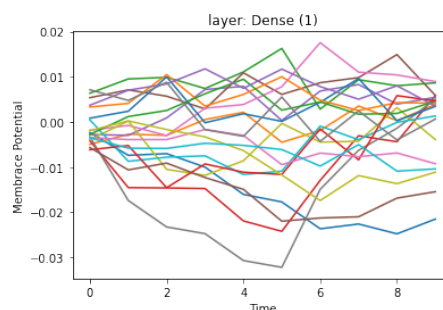
در مرحله‌ی بعد، نوبت به انجام همین آزمایش برای لایه‌های کانولوشنال است. تنها تغییر مورد نیاز برای این کار، جایگزینی لایه اول شبکه‌ی قبلی با یک لایه‌ی کانولوشنال، و سپس اجرای مجدد شبکه است. این لایه‌ها نیز به سادگی قادر به یادگیری این مجموعه هستند.

۱.۵.۳ آزمایش شبکه‌ی کامل

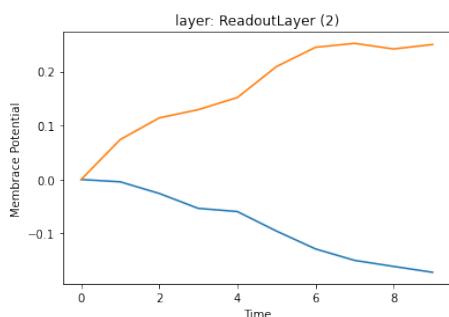
در قدم بعدی، یک شبکه‌ی کامل، با یک لایه با ۱۲۸ نورون اسپایکی و یک لایه تصمیم گیری را با استفاده از مجموعه داده‌ی IBM-DVSGesture آموزش دادیم. داده‌ها با طول ۲۰ فریم از مجموعه داده



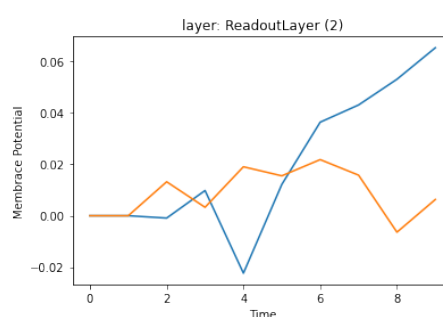
(ب) لایه اول بعد از آموزش



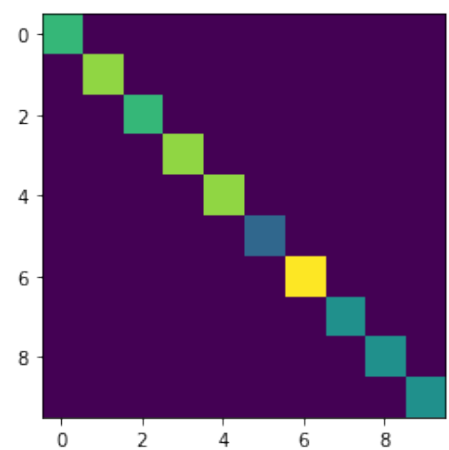
(آ) لایه اول قبل از آموزش



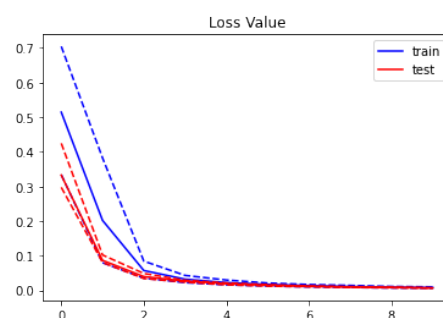
(د) لایه تصمیم گیری بعد از آموزش



(ج) لایه تصمیم گیری قبل از آموزش



(و) نمونه‌ای از داده‌ی آموزشی



(ه) نمودار تابع خطا در طول فرایند آموزش

نمودار ۷.۳: در دو شکل اول پتانسیل تعدادی نورون تصادفی از لایه‌ی اول مشاهده می‌شود و همانطور که مشاهده می‌شود، نورون‌های آموزش دیده رفتار تفکیک شده تری دارند. در دو شکل بعدی هم، همین امر را در مورد نورون‌های لایه‌ی تصمیم گیری مشاهده می‌کنیم.

استخراج شده‌اند و در دسته‌های ۱۶ تایی آموزش پیدا کردند. روش استخراج قطبیت اسپایک‌ها نیز به روش جمع جهت اسپایک‌ها بوده است. همچنین در این آزمایش شبکه در ۴۰ سیکل آموزشی با ضریب آموزشی 10^{-4} آموزش پیدا کرده است. در تصویر ۸.۳ مشاهده می‌شود، این شبکه توانسته است با دقت ۱۰۰٪ داده‌های آموزشی، و با دقت نزدیک به ۷۰٪ داده‌های آزمایشی را به درستی شناسایی کند. این آزمایش نشان دهنده‌ی کارکرد اجزای شبکه در کنار هم می‌باشد. ولی همانطور که انتظار می‌رود، شبکه در این حالت دچار overfitting شده است. در ادامه به بررسی دقیق تر پارامترهای شبکه و تاثیر هر کدام بر روی کارکرد آن می‌پردازیم.

۲.۵.۳ آزمایش روش‌های تولید تصویر مبتنی بر فریم

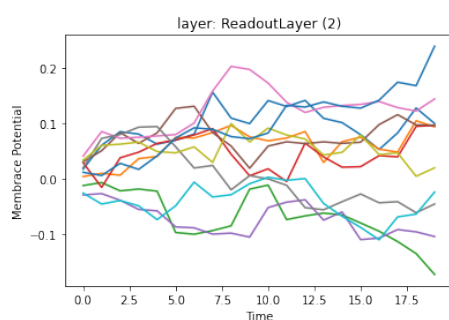
در این قسمت روش‌های استخراج و افراز اسپایک‌ها از جریان اسپایک و تولید تصویر مبتنی بر فریم را بررسی می‌کنیم. این روش‌ها همانطور که در بخش‌های قبلی بررسی شده‌اند، شامل روش‌های زیر می‌شوند:

- روش صرف نظر کردن از قطبیت اسپایک
- روش تک‌لایه (ذخیره مقدار قطبیت اسپایک در یک کانال تصویر)
- روش دولایه (ذخیره‌ی اسپایک در دولایه‌ی مجزا بر اساس قطبیت آنها)
- روش تجمعی (جمع کردن مقادیر قطبیت اسپایک‌ها)

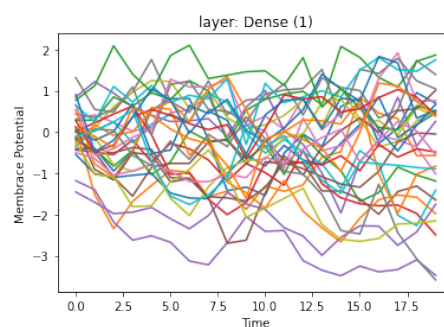
در این آزمایش از چهار شبکه مختلف استفاده شده، که شامل دو شبکه‌ی کامل و دو شبکه‌ی کانولوشنال می‌باشند. با این کار، این چهار روش در هر دو معماری ساده و کانولوشنال بررسی می‌شوند. لازم به ذکر است این آزمایش بر روی مجموعه داده‌ی NavGesture انجام شده است و تنها از ۳۰ فایل داده‌ی آموزشی به جای کل این مجموعه استفاده است. همانطور که در جدول ۱.۳ مشاهده می‌شود، روش تجمیع قطبیت کارکرد بهتری را نشان می‌دهد. دلیل این افزایش کارکرد، احتمالاً این است که در سایر روش‌ها مقداری از اطلاعات از بین می‌رود. چرا که اسپایک‌ها روی هم انباشته نمی‌شوند.

شبکه	صرف نظر از قطبیت	روش تک لایه	روش دو لایه	روش تجمیع قطبیت
Dense. ۱۲۸	۵۱٪	۵۰٪	۷۰٪	۶۸٪
Dense. ۵۱۲	۸۰٪	۸۴٪	۸۳٪	۸۷٪
CNN. ۶۴-۶۴	۸۲٪	۸۳٪	۸۴٪	۹۶٪
CNN+Dense	۷۹٪	۸۳٪	۸۱٪	۹۷٪

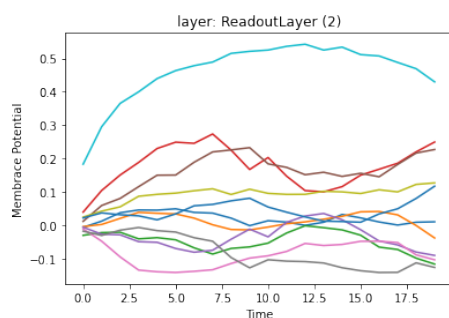
جدول ۱.۳: نتایج آزمایش‌های روش تولید تصویر مبتنی بر فریم



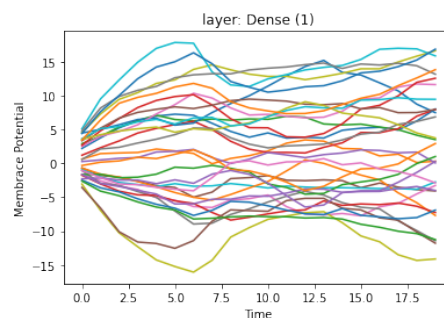
(ب) لایه اول بعد از آموزش



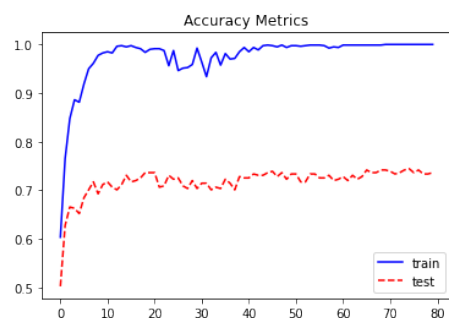
(آ) لایه اول قبل از آموزش



(د) لایه تصمیم گیری بعد از آموزش



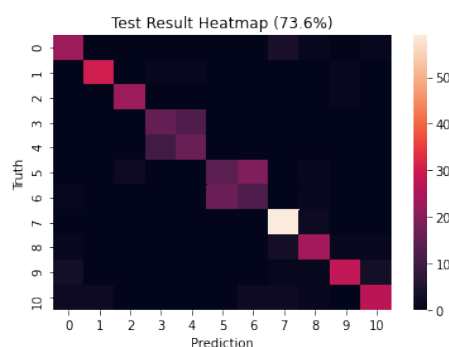
(ج) لایه تصمیم گیری قبل از آموزش



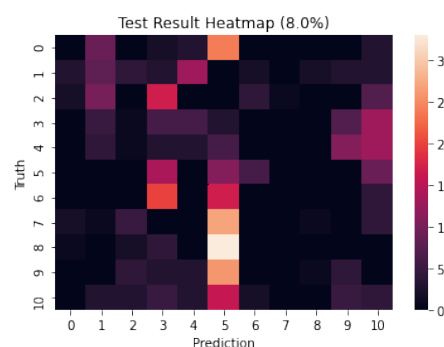
(و) نمودار درصد دقت شبکه در طول فرایند آموزش



(ه) نمودار تابع خطا در طول فرایند آموزش



(ح) ماتریس پراکندگی جواب‌ها بعد از آموزش



(ز) ماتریس پراکندگی جواب‌ها قبل از آموزش

نمودار ۸.۳: در این نمودار، پتانسیل لایه‌های شبکه را قبل و بعد از آموزش مشاهده می‌کنیم. همچنین بر اساس ۸.۳ و ۸.۴ می‌توانیم به این نتیجه برسیم که شبکه تا حد قابل قبولی توانایی تشخیص کلاس‌های درست را دارد.

NavGesture			IBM-DVSGesture			شبکه
۱۲۸ فریم	۸۰ فریم	۲۰ فریم	۱۲۸ فریم	۸۰ فریم	۲۰ فریم	
۸۴%	۸۶%	۶۸%	۷۸%	۷۵%	۷۸%	Dense. ۱۲۸
۸۶%	۸۸%	۸۷%	۷۵%	۷۵%	۷۱%	Dense. ۲۵۶

جدول ۲.۳: نتایج آزمایش‌های طول فریم

شبکه	میانگین پتانسیل	بیشینه پتانسیل	تعداد اسپایک	زمان اولین اسپایک
Dense. ۱۲۸	۷۵%	۷۸%	۶۳%	۶۸%
Dense. ۵۱۲	۷۴%	۷۱%	۶۴%	۷۰%

جدول ۳.۳: نتایج آزمایش نوع خروجی

۳.۵.۳ آزمایش طول زمانی داده‌ها

در این آزمایش، طول زمانی داده‌ها و تاثیر آنها بر روی کارکرد شبکه بررسی شده است. همانند آزمایش قبلی، در این آزمایش نیز از شبکه‌هایی با پارامترهای مشابه استفاده شده است، و تنها تفاوت این آزمایش در این است که از هر دو مجموعه داده استفاده شده است.

۴.۵.۳ آزمایش نوع خروجی

در این آزمایش نوع لایه‌های تصمیم‌گیری با یکدیگر مقایسه شده‌اند. برای انجام این آزمایش از شبکه‌هایی با پارامترهای مشابه و از مجموعه داده‌ی IBM-DVSGesture استفاده کرده‌ایم. تنها تفاوت این شبکه‌ها در نوع لایه‌ی تصمیم‌گیری آنها است. همانطور که مشاهده می‌شود، حالت‌های تصمیم‌گیری بر اساس پتانسیل، کارکرد چشمگیری نسبت به حالت‌های تصمیم‌گیری بر اساس اسپایک دارند و همچنین تصمیم‌گیری بر اساس بیشینه پتانسیل نیز، نسبت به سایر حالت‌ها دارای کارکرد بهتری است.

۵.۵.۳ آزمایش اتصالات کمکی

در این قسمت نیز انواع اتصالات بازگشتی و جانبی در کنار یکدیگر مقایسه شده‌اند. این آزمایش نیز تنها بر روی مجموعه داده‌ی IBM-DVSGesture انجام شده. همانطور که در این آزمایش مشاهده می‌شود، اتصالات بازگشتی و جانبی تاثیر چشمگیری در کارکرد شبکه ندارند و تنها باعث افزایش حجم پردازش و افزایش حافظه‌ی مصرفی شبکه می‌گردند. البته در مورد اتصالات تحقیقات بیشتری نیاز است، چرا که ممکن است این اتصالات در مورد مسائل دیگر کارکرد خوبی از خود نشان دهند.

شبکه	بدون اتصالات کمکی	با اتصالات بازگشتی	اتصالات جانبی	با هر دو نوع اتصال
Dense. ۱۲۸	۷۸%	۷۱%	۷۲%	۷۲%
Dense. ۵۱۲	۷۱%	۷۷%	۷۵%	۷۷%

جدول ۴.۳: نتایج آزمایش‌های اتصالات کمکی

شبکه	شبکه‌ی اسپایکی		شبکه‌ی مصنوعی	
	دقت	محاسبات اعشاری	دقت	محاسبات اعشاری
Dense. ۱۲۸	۹۴%	2.89e4	۹۱%	1.04e6
Dense. ۲۵۶	۹۶%	5.8e4	۸۹%	2.09e6
CNN. ۱۲۸	۸۳%	4.38e6	۹۷%	2.2e8
CNN. ۳۲-۳۲	۹۷%	2.7e5	۹۴%	1.2e7

جدول ۵.۳: نتایج آزمایش‌های مقایسه‌ی شبکه‌های اسپایکی و شبکه‌های مصنوعی

۶.۵.۳ مقایسه شبکه‌ی اسپایکی با شبکه‌ی مصنوعی

در ادامه مباحثی که در بخش‌های قبلی در رابطه با مزیت‌های استفاده از شبکه‌های اسپایکی گفته شد، در این قسمت نتایج این شبکه‌ها را با شبکه‌های مصنوعی مشابه آنها مقایسه کرده‌ایم. همانطور که در جدول ۵.۳ مشاهده می‌شود، شبکه‌های اسپایکی می‌توانند با دقتی مشابه شبکه‌های مصنوعی داده‌های این مجموعه را یاد بگیرند. این در حالی است که به طور میانگین ۲ درصد شبکه‌های مصنوعی محاسبات اعشاری دارند که به این معنا است که دارای مصرف انرژی بسیار پایین تر می‌باشند. همچنان در صورتی که بر روی سخت افزارهای نورومورفیک اجرا شوند زمان پاسخ دهی سریع تری نیز خواهند داشت. کمتر بودن تعداد محاسبات اعشاری این شبکه به دلیل پراکندگی ماتریس اسپایک خروجی نورون‌ها می‌باشد که در نتیجه از محاسبه‌های اضافی بعدی جلوگیری می‌شود.

۷.۵.۳ نتیجه گیری

هدف اصلی در این پایان نامه استفاده از شبکه‌های اسپایکی برای حل مسئله‌ی تشخیص ژست حرکتی است. دلیل انتخاب این شبکه‌ها نیز این است که ساختار و مکانیزم کاری نورون‌های این شبکه‌ها به مغز ما شبیه تر هستند، و در نتیجه می‌توان گفت با مصرف انرژی کمتر کارکرد بهتری خواهند داشت. بنابراین، می‌توان گفت که احتمالاً در آینده‌ای نه چندان دور، شاهد استفاده‌ی گسترده تری از این شبکه‌ها در صنعت خواهیم بود. کما این که در حال حاضر نیز بسیاری از صنایع تکنولوژی در حال پیاده سازی بسترهای استفاده از این شبکه‌ها هستند.

در این پایان نامه ما به بررسی این شبکه‌ها و چالش‌های آنها و همچنین به بررسی تاثیر مکانیزم‌ها و ابزارهای موجود در این شبکه‌ها و نقاط قوت و ضعف آنها پرداختیم. همچنین، در این پایان نامه پیاده

سازی کاملی از شبیه ساز این شبکه‌ها انجام دادیم که پلتفرم خوبی برای تحقیقات آینده در این زمینه است.

شبکه‌های اسپایکی، اگرچه در محیط‌های شبیه سازی کندتر عمل می‌کنند و شبیه سازی آنها به نسبت به شبکه‌های مصنوعی دشوارتر است، ولی صرف نظر از سربار شبیه سازی آنها، این شبکه بسیار سریع تر از شبکه‌های مصنوعی عمل می‌کنند و مصرف انرژی آنها بسیار کمتر است. دلیل اصلی این امر نیز، استفاده از وزن‌های باینری و تولید خروجی پالس در این شبکه‌ها است. به عبارت دیگر، به دلیل پراکنده بودن ماتریس پالس‌های خروجی، این شبکه‌ها خروجی‌های کمتری تولید می‌کنند.

نهایتاً به عنوان زمینه‌های کاری آینده، می‌توان به پیاده سازی این شبکه‌ها در سخت افزارهای نورومورفیک اشاره کرد. از آنجایی که ما در این پایان نامه فرصت تهیه و استفاده از این سخت افزارها را نداشتیم، محدود به استفاده از شبیه سازی در محیط کامپیوتری بودیم. استفاده از سخت افزارهای نورومورفیک احتمالاً بتواند نتایج این تحقیق را به شکل چشمگیری تحت تاثیر قرار دهد.

علاوه بر این به عقیده‌ی من پیاده سازی‌های مکانیزهای آموزشی استفاده شده در این پایان نامه جای بهبود دارند. به عبارت دیگر روش گرادیان جایگزین محدودیت‌هایی در زمینه انتقال خطا در شبکه‌هایی که لایه‌های زیادی دارند به دنبال دارد. همچنین، این روش، در شرایطی که مجموعه داده به اندازه‌ی کافی بزرگ نباشد دچار مشکل می‌شود. یکی از راه‌هایی که به عقیده‌ی بنده می‌تواند راه گشای این مسئله باشد، استفاده توأم از روش‌های آموزش بدون نظارت مانند STDP به عنوان مکانیزم‌های پیش آموزشی شبکه می‌باشد.

واژه‌نامه فارسی به انگلیسی

Supervised Learning	آموزش با نظارت
Unsupervised Learning	آموزش بدون نظارت
Reinforcement Learning	آموزش تقویت شده
Semi-Supervised Learning	آموزش شبه نظارتی
Lateral Connections	اتصالات جانبی
Credit Assignment	اختصاص اعتبار
Cart-Pool	ارابه-عمود
Spike	اسپایک
Hard Spike	اسپایک سخت
Soft Spike	اسپایک نرم
Genetics Algorithms	الگوریتم‌های ژنتیک
Error Backpropagation, Backprop	بازگشت خطا
Pixel-Based Image	بر مبنای پیکسل
Computer Vision	بینایی ماشین
Loss Function	تابع خطا
Negative Log-Likelihood Loss (NLLLoss)	تابع خطای احتمالی لگاریتمی منفی
Activation Function	تابع فعال ساز
Cost Function	تابع هزینه
Integrate-and-Fire (IF)	تجمع-آتش
Leaky Integrate-and-Fire (LIF)	تجمع-آتش با نشتی
Gesture Recognition	تشخیص ژست حرکتی
Frame-Based Image	تصویر مبتنی بر فریم
Human-Computer Interaction (HCI)	تعامل انسان و روبات
Gaussian Differential	تفاوت گاوسی

Data Augmentation and Reinforcement	تقویت و اضافه کردن داده
Membrane Time Constant	ثابت زمانی قشاع
Spike Train	جریان اسپایک
Data Stream	جریان داده
Spike Polarity	جهت اسپایک
Long-Short Term Memory	حافظه‌ی کوتاه-بلند مدت
Dropout	حذف-کننده‌ی-تصادفی
Exponential Current Following	دنبال کردن توانی جریان
Spike-Timing-Dependent Plasticity (STDP)	روش انعطاف پذیری وابسته به زمان ضربه
Regression	رگرسیون
Bayesian Network	شبکه‌های بیزی
Feed Forward Network	شبکه‌ی رو به جلو
Multi-Layer Perceptron	شبکه‌ی چند لایه
Fully Connected Network, Densely Connected Network	شبکه‌ی کامل
Convolutional Network	شبکه‌ی کانولوشنال
Pixel Intensity	شدت نوری پیکسل
Spike	ضربه
Temporal Filter	فیلتر زمانی
Ventral Pathway of the Visual Cortex	قسمت شکمی قشر بینایی
inferotemporal cortex	قشر تحلیلی
Pooling Layer	لایه‌ی کشنده
Support Vector Machine	ماشین بردار پشتیبان
Leakage	مقدار نشتی
Fitness	میزان ارزندگی
Batch-norm	نرمال-ساز-دسته‌ای
Perceptron	پرسپترون
Post-Synaptic	پسا سیناپسی
Pre-Synaptic	پیش سیناپسی
Convolutional	کانولوشنال
Gradient Decent	کاهش گرادیان
Spike-time coding	کد گذاری بر اساس زمان اسپایک
Spike-rate coding	کد گذاری بر اساس نرخ-اسپایک

Temporal Coding	کد گذاری زمانی
Spike-Time-Coding	کدگذاری اطلاعات در زمان اسپایک
Max-Pool	کشنده-بیشینه
Average-Pool, Avg-Pool	کشنده-میانگین
Classifier	کلاس بند
Classification	کلاس بندی
Surrogate Gradient	گرادیان جایگزین
Deep Learning	یادگیری عمیق

واژه‌نامه انگلیسی به فارسی

Activation Function	تابع فعال ساز
Average-Pool	کشنده- میانگین
Avg-Pool	کشنده- میانگین
Batch-norm	نرمال- ساز- دسته‌ای
Bayesian Network	شبکه‌های بیزی
Cart-Pool	ارابه- عمود
Classification	کلاس بندی
Classifier	کلاس بند
Computer Vision	بینایی ماشین
Convolutional	کانولوشنال
Convolutional Network	شبکه‌ی کانولوشنال
Cost Function	تابع هزینه
Credit Assignment	اختصاص اعتبار
Data Augmentation and Reinforcement	تقویت و اضافه کردن داده
Data Stream	جریان داده
Deep Learning	یادگیری عمیق
Densely Connected Network	شبکه‌ی کامل
Dropout	حذف- کننده‌ی- تصادفی
Error Backpropagation	بازگشت خطا
Exponential Current Following	دنبال کردن توانی جریان
Feed Forward Network	شبکه‌ی رو به جلو
Fitness	میزان ارزندگی
Frame-Based Image	تصویر مبتنی بر فریم
Fully Connected Network	شبکه‌ی کامل

Gaussian Differential	تفاوت گاوسی
Genetics Algorithms	الگوریتم‌های ژنتیک
Gesture Recognition	تشخیص ژست حرکتی
Gradient Decent	کاهش گرادیان
Hard Spike	اسپایک سخت
Human-Computer Interaction (HCI)	تعامل انسان و روبات
Integrate-and-Fire (IF)	تجمع-آتش
Lateral Connections	اتصالات جانبی
Leakage	مقدار نشتی
Leaky Integrate-and-Fire (LIF)	تجمع-آتش با نشتی
Long-Short Term Memory	حافظه‌ی کوتاه-بلند مدت
Loss Function	تابع خطا
Max-Pool	کشنده-بیشینه
Membrane Time Constant	ثابت زمانی قشاع
Multi-Layer Perceptron	شبکه‌ی چند لایه
Negative Log-Likelihood Loss (NLLLoss)	تابع خطای احتمالی لگاریتمی منفی
Perceptron	پرسپترون
Pixel Intensity	شدت نوری پیکسل
Pixel-Based Image	بر مبنای پیکسل
Pooling Layer	لایه‌ی کشنده
Post-Synaptic	پسا سیناپسی
Pre-Synaptic	پیش سیناپسی
Regression	رگرسیون
Reinforcement Learning	آموزش تقویت شده
Semi-Supervised Learning	آموزش شبه نظارتی
Soft Spike	اسپایک نرم
Spike	ضربه یا اسپایک
Spike Polarity	جهت اسپایک
Spike Train	جریان اسپایک
Spike-Time-Coding	کدگذاری اطلاعات در زمان اسپایک
Spike-Timing-Dependent Plasticity (STDP)	روش انعطاف پذیری وابسته به زمان ضربه
Spike-rate coding	کد گذاری بر اساس نرخ-اسپایک

Spike-time coding	کد گذاری بر اساس زمان اسپایک
Supervised Learning	آموزش با نظارت
Support Vector Machine	ماشین بردار پشتیبان
Surrogate Gradient	گرادیان جایگزین
Temporal Coding	کد گذاری زمانی
Temporal Filter	فیلتر زمانی
Unsupervised Learning	آموزش بدون نظارت
Ventral Pathway of the Visual Cortex	قسمت شکمی قشر بینایی
inferotemporal cortex	قشر تحلیلی

مراجع

- [١] Nayak, T. Nolfo, Di C. McKinstry, J. Melano, T. Berg, D. Taba, B. A., Amir, [١] event- fully power, low A .(٢٠١٧) al. et Mendoza, M. Garreau, G. Andreopoulos, A. Com- on Conference IEEE the of Proceedings In system. recognition gesture based ١٧, ١٦ .٧٢٥٢-٧٢٤٣ pp. Recognition, Pattern and Vision puter
- [٢] Long .(٢٠١٨) Maass W. and Legenstein, R. Subramoney, A. Salaj, D. G., Bellec, [٢] Advances neurons. spiking of networks in learning-to-learn and memory short-term ٢١, ١٣ .٧٩٧-٧٨٧, ٣١ Systems Processing Information Neural in
- [٣] predictive fractionally of networks in Error-backpropagation .(٢٠١١) M. S. Bohte, [٣] -٦٠ pp. Networks. Neural Artificial on Conference International In neurons. spiking ١٢ Springer. .٦٨
- [٤] tem- in Error-backpropagation .(٢٠٠٢) Poutre La H. and Kok, N. J. M., S. Bohte, [٤] ١٢ .٣٧-١٧, (٤-١) ٤٨ Neurocomputing neurons. spiking of networks encoded porally
- [٥] sequence in storage and recall Matching .(٢٠١٣) Pfister J.-P. and Senn, W. J., Brea, [٥] .٩٥٧٥-٩٥٦٥, (٢٣) ٣٣ neuroscience of Journal networks. neural spiking with learning ٢٠, ١١
- [٦] Bi- .(٢٠١٦) Bengio Y. and El-Yaniv, R. Soudry, D. Hubara, I. M., Courbariaux, [٦] activations and weights with networks neural deep Training networks: neural narized ٢١, ١٢ .arXiv: ١٦٠٢.٠٢٨٣٠ preprint arXiv or- ١. ١ to+ constrained
- [٧] Trends recognition. object invariant Untangling .(٢٠٠٧) Cox D. D. and J. J. DiCarlo, [٧] ٣ .٣٤١-٣٣٣, (٨) ١١ sciences cognitive in
- [٨] visual solve brain the does How .(٢٠١٢) Rust C. N. and Zoccolan, D. J., J. DiCarlo, [٨] ٣ .٤٣٤-٤١٥, (٣) ٧٣ Neuron recognition? object
- [٩] An- A. Appuswamy, R. Cassidy, S. A. Arthur, V. J. Merolla, A. P. K., S. Esser, [٩] Con- .(٢٠١٦) al. et Barch, R. D. Melano, T. McKinstry, L. J. Berg, J. D. dreopoulos, Proceedings computing. neuromorphic energy-efficient fast. for networks volutional ١٢ .١١٤٤٦-١١٤٤١, (٤١) ١١٣ sciences of academy national the of
- [١٠] en- spatiotemporally Learning .(٢٠١٥) Grüning A. and Sporea, I. B., Gardner, [١٠] compu- Neural networks. neural spiking structured in transformations pattern coded ١١ .٢٥٨٦-٢٥٤٨, (١٢) ٢٧ tation

dynam- Neuronal .(٢٠١٤) Paninski L. and Naud, R. Kistler, M. W. W., Gerstner, [١١]
University Cambridge cognition. of models and networks to neurons single From ics:
Press.

Rev. Annu. cortex. visual human The .(٢٠٠٤) Malach R. and K. Grill-Spector, [١٢]
٣ .٦٧٧-٦٤٩ , ٢٧ Neurosci.

Super- .(٢٠١٩) Korondi P. and Botzheim, J. Domonkos, M. M., N. Gyöngyösy, [١٣]
net- neural spiking by recognition gesture for set training small with learning vided
pp. (SSCI), Intelligence Computational on Series Symposium IEEE ٢٠١٩ In works.
١٩ IEEE. .٢٢٠٦-٢٢٠١

networks. neural spiking for descent Gradient .(٢٠١٧) Sejnowski J. T. and D. Huh, [١٤]
٢١ , ٢٠ .arXiv: ١٧٠٦. ٠٤٦٩٨ preprint arXiv

neurons. lif with networks deep Spiking .(٢٠١٥) Eliasmith C. and E. Hunsberger, [١٥]
١٩ , ١١ .arXiv: ١٥١٠. ٠٨٨٢٩ preprint arXiv

Stdp- .(٢٠١٨) Masquelier T. and Thorpe, J. S. Ganjtabesh, M. R., S. Kheradpisheh, [١٦]
Neural recognition. object for networks neural convolutional deep spiking based
١٨ , ٤ .٦٧-٥٦ , ٩٩ Networks

.(٢٠١٦) Masquelier T. and Ganjtabesh, M. Ghodrati, M. R., S. Kheradpisheh, [١٧]
recogni- object invariant in vision feed-forward human resemble can networks Deep
١٩ .٣٢٦٧٢ , ٦ reports Scientific tion.

.(٧٥٥٣)٥٢١ nature learning. Deep .(٢٠١٥) Hinton G. and Bengio, Y. Y., LeCun, [١٨]
٤ .٤٤٤-٤٣٦

net- neural spiking deep Training .(٢٠١٦) Pfeiffer M. and Delbruck, T. H., J. Lee, [١٩]
٢٠ , ١١ .٥٠٨ , ١٠ neuroscience in Frontiers backpropagation. using works

Random .(٢٠١٦) Akerman J. C. and Tweed, B. D. Cownden, D. P., T. Lillicrap, [٢٠]
Nature learning. deep for backpropagation error support weights feedback synaptic
١٩ .١٠-١ , (١)٧ communications

recog- gesture Event-based .(٢٠٢٠) Benosman R. and Ieng, S.-H. J.-M., Maro, [٢١]
capa- computational smartphone using suppression background dynamic with nition
١٧ .٢٧٥ , ١٤ Neuroscience in Frontiers bilities.

Transactions IEEE survey. A recognition: Gesture .(٢٠٠٧) Acharya T. and S. Mitra, [٢٢]
-٣١١ , (٣)٣٧ Reviews) and (Applications C Part Cybernetics, and Man, Systems, on
١٥ .٣٢٤

neural spiking in coding temporal on based learning Supervised .(٢٠١٧) H. Mostafa, [٢٣]
-٣٢٢٧ , (٧)٢٩ systems learning and networks neural on transactions IEEE networks.
٢١ .٣٢٣٥

- winner-take-for framework learning A. (٢٠١٨) Cauwenberghs G. and H. Mostafa, [٢٤]
٢٠, ١١. ١٥٧٢-١٥٤٢, (٦)٣٠ computation Neural synapses. stochastic with networks all
- learning supervised Deep. (٢٠١٨) Cauwenberghs G. and Ramesh, V. H., Mostafa, [٢٥]
٢٠, ٦٠٨, ١٢ neuroscience in Frontiers errors. local using
- and Crucian, P. G. Anderson, J. Rothi, G. J. L. Garaigordobil, M. M., Mozaz, [٢٦]
cogni- and Brain disease. alzheimer's in recognition Posture. (٢٠٠٦) Heilman M. K.
١٥. ٢٤٥-٢٤١, (٣)٦٢ tion
- ran- Event-driven. (٢٠١٧) Detorakis G. and Paul, S. Augustine, C. O., E. Neftci, [٢٧]
in Frontiers machines. learning deep neuromorphic Enabling back-propagation: dom
١١. ٣٢٤, ١١ neuroscience
- in learning gradient Surrogate. (٢٠١٩) Zenke F. and Mostafa, H. O., E. Neftci, [٢٨]
٤٠, ٢٤, ١١, ٧. ٦٣-٦١, ٣٦ Magazine Processing Signal IEEE networks. neural spiking
- C. A. d. N. Christovão, L. C. T. Ferreira, B. A. L. Grecco, C. A. L. P., H. Neto, [٢٩]
in evaluation baropodometric and analysis Clinical. (٢٠١٥) Oliveira S. C. and Duarte,
Move- and Bodywork of Journal trial. clinical A posture: foot abnormal of diagnosis
١٥. ٤٣٣-٤٢٩, (٣)١٩ Therapies ment
- neural deep in learning provides alignment feedback Direct. (٢٠١٦) A. Nøkland, [٣٠]
٢٠. arXiv: ١٦٠٩.٠١٥٩٦ preprint arXiv networks.
- recog- gesture hand based camera Depth. (٢٠١١) Yuan J. and Meng, J. Z., Ren, [٣١]
International Ath ٢٠١١ In human-computer-interaction. in applications its and nition
IEEE. ٥-١ pp. Processing, Signal & Communications Information, on Conference
١٥
- in reassignment error layer Spike Slayer: (٢٠١٨) Orchard G. and B. S. Shrestha, [٣٢]
٢٠, ١٣. ١٤٢١-١٤١٢, ٣١ systems processing information neural in Advances time.
- multilayer in learning Supervised Superspike: (٢٠١٨) Ganguli S. and F. Zenke, [٣٣]
١٩, ١٢. ١٥٤١-١٥١٤, (٦)٣٠ computation Neural networks. neural spiking

Surname: Moqadam Mehr

Name: Aref

Title: Gesture Recognition via Spike-Convolutional Neural Networks (S-CNN)

Supervisors: Dr. Hadi Farahani and Dr. Saeed Reza Kheradpisheh

Degree: Master of Science

Subject: Department of Computer Science

Field: Algorithms and Computation Theory

Shahid Beheshti University

Faculty of Mathematical Sciences

Date: 2020

Number of pages: 66

Keywords: Spiking Neural Networks, Convolutional Neural Networks, Human Gesture Recognition, Dynamic Vision Sensor, Computer Vision, Machine Learning

Abstract

Biological neurons use spikes to process and learn temporally dynamic inputs in energy and computationally efficient way. Unlike conventional Artificial Neural Networks, Spiking Neural Networks (SNN) tries to imitate this characteristic of the biological neurons to have advantages, such as energy efficiency. However, applying state-of-the-art gradient-based supervised algorithms to spiking neural networks is a challenge due to the non-differentiability of the activation function of spiking neurons. Employing surrogate gradients is one of the leading solutions to overcome this challenge. Although SNNs naturally work in the temporal domain, recent studies have focused on developing SNNs to solve static image categorization tasks. This paper employs a surrogate gradient descent learning algorithm to recognize twelve human hand gestures recorded by dynamic vision sensor (DVS) cameras.



Shahid Beheshti University

Faculty of Mathematical Sciences

Department of Computer Science

Master of Science Thesis

Gesture Recognition via Spike-Convolutional Neural Networks (S-CNN)

by

Aref Moqadam Mehr

Supervisors

Dr. Hadi Farahani and Dr. Saeed Reza Kheradpisheh

2020